

Міністерство освіти і науки України
Український державний університет науки і технологій

Факультет Комп'ютерні технології та системи
Кафедра Комп'ютерні інформаційні технології

Пояснювальна записка

до кваліфікаційної роботи

ОС магістра

на тему: «Дослідження продуктивності нейронних мереж під час аналізу медичних даних Covid-19.»

за освітньою програмою **Інженерія програмного забезпечення**
зі спеціальності: **121 Інженерія програмного забезпечення**

Виконав: студент групи ПЗ32321:



Микола КОЧЕНКО

Керівник:



Світлана ВОЛКОВА

Нормоконтролер:



Світлана ВОЛКОВА

Засвідчую, що у цій роботі немає запозичень з праць інших авторів без відповідних посилань.

Студент



Ministry of Education and Science of Ukraine
Ukrainian State University of Science and Technologies

Faculty Computer technologies and systems
Department Computer information technology

Explanatory Note

to Master's Thesis

on the topic: «_____»

according to educational curriculum **Software engineering**
in the Speciality: **121 Software engineering**

Done by the student of the group PZ32321: _____ / _____/

Scientific Supervisor: _____ / _____/

Normative controller: _____ / _____/

Міністерство освіти і науки України

Український державний університет науки і технологій

Факультет: Комп'ютерних технологій і систем

Кафедра: Комп'ютерні інформаційні технології

Рівень вищої освіти: магістр

Освітня програма: Інженерія програмного забезпечення

Спеціальність: Інженерія програмного забезпечення

ЗАТВЕРДЖУЮ

Завідувач кафедри КІТ

Вадим ГОРЯЧКІН

грудня 2023 р.

ЗАВДАННЯ

На кваліфікаційну роботу Магістра

студенту Коченко Миколі Віталійовичу

1. Тема дипломної роботи: Дослідження продуктивності нейронних мереж під час аналізу медичних даних Covid-19.

Керівник роботи: канд.фіз.-мат. наук, доцент Волкова Світлана Анатоліївна.

затверджені наказом 1187 ст від 29.12.2023 року

2. Строк подання студентом роботи 03.01.2025 року
3. Вихідні дані до дипломної роботи: Моделі штучного інтелекту, призначені для дослідження.
4. Зміст пояснювальної записки (перелік питань до розробки):
 - 4.1. Аналітична частина: вступ, збір вимог до програмного забезпечення;
 - 4.2. Основна частина: розробка методу, зовнішнє і внутрішнє проектування, тестування та налагодження, дослідження ефективності методу та ПЗ, висновки, література;

5. Перелік демонстраційного матеріалу:

5.1. презентація;

5.2. демонстраційне відео.

КАЛЕНДАРНИЙ ПЛАН

№	Назва етапів кваліфікаційної роботи	Строк виконання етапів роботи	Примітка
1	Аналіз сучасного стану дослідження проблеми за науковими літературними джерелами	01.09.23 – 01.10.23	10%
2	Аналіз сучасного стану програмно-апаратного забезпечення, яке потребує вдосконалення для вирішення проблем дослідження	01.10.23 – 10.10.23	
3	Постановка задачі, технічне завдання	01.09.24 – 15.09.24	30%
4	Розробка інструментальних засобів дослідження	15.09.24 – 01.11.24	
5	Виконання досліджень	01.10.24 – 01.11.24	60%
6	Оформлення пояснювальної записки	01.11.24 – 01.01.25	
7	Розробка демонстраційних матеріалів	10.01.25– 15.01.25	100%
8	Подання кваліфікаційної роботи до кафедри	03.01.25	
9	Захист кваліфікаційної роботи на засіданні Екзаменаційної комісії	25.01.25	

Студент:

Микола КОЧЕНКО

Керівник
роботи:

Світлана ВОЛКОВА

РЕФЕРАТ

Кваліфікаційна робота: ___ сторінок, ___ ілюстрацій, ___ таблиць, ___ додатків, ___ джерел.

Тема дослідження: Використання різних типів нейронних мереж для аналізу медичних даних пацієнтів із COVID-19.

Мета: протиставити прості моделі згорткових нейронних мереж (CNN), із більш досконалішими у вигляді моделі ResNet50, для вирішення проблеми двійкової класифікації. Основна увага приділяється тому наскільки точні, чутливі та специфічні ці моделі а також наскільки добре вони можуть обробляти нові, невидимі раніше ними дані.

Методи:

- Огляд існуючих досліджень і літератури.
- Побудова та навчання моделей на Python.
- Тестування моделей на медичних базах даних.
- Оцінка моделей на основі точності, чутливості, специфічності та тривалості їх запуску.

Результати:

- Створено програмне забезпечення для роботи з двома нейронними мережами: CNN і ResNet50.
- Порівняння двох моделей показало, що ResNet50 працює краще з точки зору точності та чутливості.

Ключові слова: нейронні мережі, COVID-19, CNN, ResNet50, діагностика легень, машинне навчання, медичні дані.

ЗМІСТ

Оглавление

ВСТУП	10
РОЗДІЛ 1. АНАЛІЗ СУЧАСНОГО СТАНУ ДОСЛІДЖЕННЯ ЗА НАУКОВИМИ ЛІТЕРАТУРНИМИ ДЖЕРЕЛАМИ	13
1.1 Основні поняття та принципи нейронних мереж у медичній діагностиці.....	13
1.2 Функціональні можливості цих програм	16
1.3 Обмеження цих програм.....	18
1.4 Основи нейронних мереж: CNN і ResNet	22
ВИСНОВКИ ДО РОЗДІЛУ 1.	25
РОЗДІЛ 2 МЕТОДОЛОГІЯ ДОСЛІДЖЕННЯ.....	27
2.1 Обґрунтування вибору напрямку дослідження	27
2.2. Загальна методика проведення дослідження.....	29
2.3. Методи розв'язування задач і порівняння цих методів між собою	32
2.4. Принципи роботи, особливості програмного забезпечення та засобів	35
2.5. Методи, використані в цьому лабораторному досліді, похибки та оцінка моделей.	38
РОЗДІЛ 3. РОЗРОБКА ІНСТРУМЕНТАЛЬНИХ ЗАСОБІВ ДЛЯ ДОСЛІДЖЕННЯ.....	41
3.1. Аналіз вимог до програмного забезпечення	41
3.2 Процес проектування та розробки ПЗ для порівняння моделей CNN та ResNet.	43
3.3. Опис функціональності та архітектури розробленого програмного забезпечення.....	45
3.4. Використання стандартів і принципів проектування у розробці.....	47
3.5 Інтерфейс програмного забезпечення.	49
РОЗДІЛ 4. ЕКСПЕРИМЕНТАЛЬНІ ДОСЛІДЖЕННЯ	51
4.1. Умови проведення експериментів та підготовка даних.	51
4.2. Етапи експериментів із навчання моделей CNN та ResNet.....	53
4.3. Порівняльний аналіз результатів експериментів.	56
4.4. Оцінка новизни результатів та порівняння з іншими дослідженнями.	59
РОЗДІЛ 5. БЕЗПЕКА ПРАЦІ ПІД ЧАС РОЗРОБКИ ПЗ ТА ВИКОНАННЯ ДОСЛІДЖЕНЬ.....	62
5.1. Аналіз ризиків при розробці програмного забезпечення.	62
5.2. Заходи безпеки під час експериментальних досліджень.	64
5.3. Організація безпечного середовища роботи з медичними даними.	65
ЗАГАЛЬНІ ВИСНОВКИ	67
Додаток А.....	78
Додаток Б	86
Додаток В.....	90
Додаток Г	118

Поля по всій роботы: ліве=3

У змісті: шрифт=14

У змісті: всі номери сторінки вирівняти по правобу боці

ВСТУП

1. Актуальність теми

COVID-19 став однією з найсерйозніших медичних і соціальних проблем сучасності та наклав безпрецедентний вантаж на системи охорони здоров'я. Для автоматизації аналізу зображень та підвищення точності діагностики. Зокрема, підходи з використанням архітектури CNN та ResNet, які вже довели свою ефективність у класифікації зображень, багатообіцяючі та вимагають подальшого детального дослідження для застосування в медичній практиці.

2. Мета та завдання дослідження

Метою цієї роботи є аналіз ефективності класичної моделі CNN та глибокої моделі ResNet50 для задач автоматичного виявлення легеневих уражень COVID-19 на основі рентгенівських знімків грудної клітки у пацієнтів із COVID-19.

Цілями роботи є:

Проаналізувати сучасні методи діагностики COVID-19 за допомогою нейронних мереж.

Відібрати та підготувати набір даних для навчання моделям.

Розробка та запуск програмного забезпечення на основі CNN та ResNet50.

3. Об'єкт та предмет дослідження

Об'єкт дослідження: медичні дані хворих на COVID-19. Предмет дослідження: застосування нейронних мереж для автоматичної діагностики ураження легень.

4. Методи дослідження

Методологія дослідження.

Для досягнення поставленої мети та виконання запланованих завдань були використані такі підходи: Було проведено аналіз наукових джерел для вибору структури моделей та їх пристосування до вирішення медичних завдань у діагностиці. Моделі навчені з використанням мови програмування Python та бібліотек до нього TensorFlow та PyTorch. Проведено експериментальні дослідження з оцінки якості моделей за метриками точності, чутливості та специфічності разом з аналізом часу тренування моделей по однаковим наборам зображень. Зроблено порівняльний аналіз для оцінки переваг та недоліків обох розглянутих у роботі моделей: CNN та ResNet50.

5. Наукова новизна роботи

Вперше була проведена докладна оцінка точності, чутливості та специфічності моделей, таких як CNN та ResNet50 для виявлення COVID-19.

Було визначено, що нейро-мережа на архітектурі ResNet50 має переваги в плані точності діагностики та передбачування завдяки її більш розвинутій архітектурі.

Було визначено найкращі параметри навчання та критерії ефективності моделі у діагностиці легенів.

6. Практична значущість роботи

Отримані результати можуть використовуватися при розробці автоматизованої системи діагностики уражень легень у лікувальних закладах для зменшення навантаження на медичний персонал, підвищення точності діагностики та забезпечення більш коректного прийняття клінічних рішень та постановки діагнозів.

РОЗДІЛ 1. АНАЛІЗ СУЧАСНОГО СТАНУ ДОСЛІДЖЕННЯ ЗА НАУКОВИМИ ЛІТЕРАТУРНИМИ ДЖЕРЕЛАМИ **Крапка після номеру не ставиться: по всій роботі**

1.1 Основні поняття та принципи нейронних мереж у медичній діагностиці

«Історія ШІ – це історія фантазій, можливостей, демонстрацій та обіцянок. З того часу, як Гомер написав про механічні «триноги», які чекають богів за обідом, уявні механічні помічники стали частиною нашої культури. Однак лише за останні півстоліття ми, спільнота ШІ, змогли побудувати експериментальні машини, які перевіряють гіпотези про механізми мислення та розумної поведінки та тим самим демонструють механізми, які раніше існували лише як теоретичні можливості.» - Брюс Бьюкенен, Почесний Професор комп'ютерних наук Університету Піттсбурга.

Зайві пусті рядки -видалити

У сучасній медицині застосування штучного інтелекту, зокрема моделей машинного та глибинного навчання, стало важливим кроком у підвищенні ефективності діагностики та зменшенні ризику лікарських помилок, особливо під час аналізу медичної інформації. Такі технології сприяють автоматизації процесів, скорочують час на постановку діагнозу та допомагають лікарям у виявленні патологій.

Зайві пусті рядки -видалити

Машинне навчання — це одна з ключових галузей штучного інтелекту, яка орієнтована на створення та вдосконалення алгоритмів, здатних навчатися на основі даних і робити прогнози чи приймати рішення. Основна ідея полягає у виявленні закономірностей у даних без необхідності явного програмування кожного окремого правила.

Зайві пусті рядки -видалити

Ключові етапи роботи з моделями машинного навчання:

Аналіз даних: ML-алгоритми вивчають вхідні дані, шукаючи збіги або статистичні залежності.

Навчання: Алгоритми створюють математичну модель, яка дозволяє прогнозувати нові результати на основі виявлених закономірностей.

Узагальнення: Ефективна модель здатна працювати з новими, раніше невідомими даними, а не лише з тими, що використовувалися для її навчання.

Глибоке навчання (Deep Learning, DL) є підгалуззю машинного навчання, яка базується на багатошарових штучних нейронних мережах (ШНМ). Ці мережі дозволяють поступово виділяти важливі особливості даних, які складно було б визначити іншими методами.

Зайві пусті рядки -видалити

Структура нейронної мережі:

Вхідний шар: Отримує початкові дані, у контексті цього дослідження це пікселі медичних зображень.

Приховані шари: Кілька шарів нейронів, які поступово трансформують дані, виділяючи ключові особливості та закономірності у них.

Вихідний шар: отримуючи дані з попередніх шарів він прогнозує результат, наприклад, "захворювання присутнє" або "захворювання відсутнє".

Зайві пусті рядки -видалити

Згорткові нейронні мережі (Convolutional Neural Networks, CNN)

CNN широко застосовуються для аналізу зображень і є ефективним інструментом для автоматичного виявлення патологій, таких як ураження легень на рентгенограмі або КТ-зображеннях. Зокрема, CNN були активно використані в 2020-2022 роках під час пандемії COVID-19.

Ключові етапи розробки ефективної моделі:

Збір даних: Для навчання потрібен великий і якісний набір зображень. У випадку COVID-19 це можуть бути тисячі рентгенограм або КТ-зображень легень різних стадій захворювання.

Анотація даних: Медичні експерти вручну маркують зображення, позначаючи патології та класифікуючи їх за ступенем тяжкості. Ця розмітка використовується для навчання нових моделей та донавчання старих якщо через мутації старі хвороби змінилися або з'явилися нові.

Навчання моделі: **М**одель "навчається" на тренувальних даних, коригуючи свої параметри (ваги) з кожною ітерацією для зменшення похибок. Процес триває, доки не буде досягнуто прийнятної точності.

Валідація:

Під час навчання модель оцінюється на валідаційному наборі, щоб запобігти перенавчанню — ситуації, коли модель добре працює лише на тренувальних даних, але погано узагальнює нові, це призводить до того що гарна на «папері» модель абсолютно не придатна для реальної роботи.

Тестування:

Модель перевіряється на незалежному тестовому наборі, щоб оцінити її здатність до роботи з реальними даними.

Для визначення точності роботи використовуються наступні метрики:

- **Т**очність (accuracy): Частка правильних передбачень від загальної кількості.
- **Ч**утливість (sensitivity): Здатність виявляти наявність захворювання.
- **С**пецифічність (specificity): Здатність правильно визначати відсутність захворювання.

Використання нейронних мереж у медицині має численні переваги:

Автоматизація: **З**меншення ручної роботи лікарів, особливо під час аналізу великих обсягів даних. Це дозволяє скоротити штат або-ж вільні спеціалісти можуть приділяти більше часу безпосередньо лікуванню а не постановці діагнозу.

Зменшення помилок: **М**оделі можуть виявити тонкі патології, які важко помітити навіть досвідченим фахівцям, наприклад лікар с поганим зором може продовжувати лікувати, адже спеціалістом він міг бути добрим, а ось поганий зір привів-би його на пенсію.

Швидкість: **А**втоматизовані системи аналізують зображення швидше, ніж це зробив би лікар вручну. І як сказано раніше це допоможе або скоротити бюджет або переправити спеціалістів на більш важливі задачі. Ну допоки на з'являться роботи медики під управлінням ШІ.

Узагальнення: Завдяки великим наборам даних моделі здатні розпізнавати рідкісні захворювання та різноманітні прояви патологій, адже у моделі, на відміну від людини абсолютна пам'ять і така-ж абсолютна концентрація, вона з більшою вірогідністю приділить увагу маленьким деталям..

Глибоке навчання змінює медичну діагностику, роблячи її точнішою та доступнішою. У майбутньому інтеграція цих технологій із телемедициною та мобільними пристроями може ще більше підвищити якість та швидкість медичного обслуговування.

1.2 Функціональні можливості цих програм

По всі роботі виправити: після «:» та «;» пишеться маленька буква

COVID-Net – найпоширеніша модель автоматичного аналізу рентгенівських знімків легень.

Ключові можливості:

Класифікація зображень: модель розміщує рентгенівські зображення легень в один із трьох класів:

- Нормальні легені: Без видимих патологій;
- Пневмонія легенів: загальні ознаки бактеріальних або вірусних інфекцій;
- Уражені COVID-19 легені: специфічні ознаки захворювання, характерні для інфекції у пацієнтів.

Таким чином лікарі можуть дуже швидко поставити попередній діагноз, який є вирішальним для швидкого лікування, ізоляції та скорішого одужання пацієнта.

Адаптивне навчання:

Модель легко адаптується до нових умов і даних. Ось приклад:

- Можлива поява нових штамів COVID-19 з унікальними рентгенівськими проявами; можна перенавчити модель на оновлених наборах даних. Це робить COVID-Net надійним інструментом у швидко мінливих умовах пандемії.

Візуалізація результатів:

COVID-Net генерує теплові карти що показують області яким модель приділяла найбільшу увагу під свого час аналізу. Такі карти допомагають не тільки покращити

розуміння продуктивності моделі, але і лікарям такі карти показують місця до яких потрібно приділити більше уваги.

Доступність даних:

Відкритість проекту означає що код дані та модель доступні для завантаження та використання. Це підтримує дослідницькі зусилля та дає змогу адаптувати COVID-Net до конкретних потреб лікарень або організацій які займаються аналізом та покращенням ШІ.

DeepCOVID-XR — ефективна модель ШІ для швидкої діагностики COVID-19. Його основні особливості:

Автоматична діагностика COVID-19:

Модель може з високою точністю аналізувати рентгенівські зображення легенів і визначати вірогідність захворювання COVID-19.

Це може значно скоротити час діагностики, зокрема, в умовах пандемії, коли за день необхідно аналізувати тисячі зображень різних пацієнтів.

Оцінка тяжкості:

DeepCOVID-XR здатний оцінити, наскільки серйозно уражені легені пацієнта, що допоможе лікарям прийняти рішення щодо:

- Госпіталізації
- Інтенсивності лікування, наприклад кисневої підтримки, ШВЛ тощо
- Подальшого спостереження за пацієнтом

Сумісність з різними форматами зображень:

Модель підтримує велику кількість форматів рентгенівських знімків, які можуть відрізнятися за якістю і роздільною здатністю. Таким чином DeepCOVID-XR є зручним інструментом для медичних установ з різними типами технологічного обладнання та кваліфікації лікарів.

Подібним чином, модель не лише дає лікарям діагнози, але й поради чи примітки щодо своїх прогнозів. Тим самим він створює довіру до результатів аналізу та кращу синергію між технологіями та лікарями.

LungNet — це система діагностики легневих захворювань із кількома функціональними функціями.

Багатофункціональність:

У той час інші моделі дуже вузько спрямовані, lungnet може діагностувати пневмонію, туберкульоз, а також діагностувати COVID-19 та помітні стадії раку легенів. Тому дана модель є універсальним засобом інтегративної діагностики.

Широкий діапазон вхідних даних:

Як і DeepCOVID-XR LungNet спроможний приймати різні види даних, з різними показниками розширення, розміру та якості.

Дослідження аномалії:

Він здатний виявити легкі структурні аномалії в легенях, які не відповідають наявним патологіям. Це дозволяє своєчасно діагностувати нове захворювання.

Інтерфейс з медичними інформаційними системами:

LungNet можливо вбудувати у поточні медичні інформаційні системи (PACS) Sol. Це забезпечує кращу обробку результатів, підтримує обмін результатами між фахівцями з охорони здоров'я та суттєво покращить якість діагностування у медичних закладах або волонтерських організаціях.

Переваги моделі для загального використання:

Економія часу: Програма може економити час аналізу зображення під час більшості особливо екстрених умов.

Точність як перевага: алгоритми машинного навчання виявляють закономірності, які не бачать навіть досвідчені лікарі

Менше навантаження: автоматизація діагностики звільнить лікарів від малоцінних завдань, даючи можливість більше часу приділяти лікуванню хвороб а не їх знаходженню.

Доступність — модель можна адаптувати відповідно до потреб лікарень або наукових установ так як у неї відкритий код та бази даних.

1.3 Обмеження цих програм

Якість даних:

Самі моделі будуть настільки хороші наскільки якісні зображення даних навчання.

Точки, на які можна вплинути, це:

Погана роздільна здатність зображення: темні зображення доступні для виявлення деталей патології, які необхідно вчасно розпізнати.

Артефакти: інші нерелевантні об'єкти (медичний пристрій, тіні та шум) можуть заплутати модель іноді призводячи до невідповідних класів та помилок моделі.

Забгато розмиття або погане освітлення: розмиті зображення, зроблені через помилку обладнання або неправильні налаштування, фактично не дають моделі коректно працювати над даними.

Ці фактори зумовлюють необхідність застосування складних алгоритмів попередньої обробки зображень, які попередньо обробляють дані перед їх аналізом, або використовувати якісне сучасне обладнання яке дає більш чіткі данні для моделі.

Обсяг даних:

Якісно навчені моделі добре реагують на велику кількість різноманітних даних.

Але такий результат не завжди можливий:

Рідкісні захворювання — недостатньо зображень рідкісних або специфічних патологій щоб дозволити моделі правильно їх розпізнати.

Збалансовані дані: більшість наборів зображень мають упередженість до категорій і модель легко потрапляє під цю ймовірнісну упередженість. Це призводить до помилок у обробці і модель може помилятися там де в теорії не повинна цього робити.

Технічні обмеження: Труднощі зі збором даних через конфіденційність і нормативно-законодавчі обмеження призводять до обмежень у кількості практичних, великих і різноманітних баз даних.

Для цих цілей можна застосувати доповнення даних (створення додаткових зображень шляхом повороту, масштабування тощо) або синтез зображень за допомогою генеративних нейронних мереж, якщо звісно у доступі є моделі здатні на це.

Узагальнення до **невидимих даних**:

Добре навчені моделі які ідеально підходять для тренувальних даних, можуть показувати зниження продуктивності для прогнозування реальних або нових даних. Це може виникнути через:

Протоколи візуалізації: використання різного обладнання в різних лікарнях призводить до відмінностей у якості зображення, а також у фотографічному вигляді зображень. Що напряду «шокує» модель яка звикла працювати лише з деякими наборами даних.

Підгрупи населення: наприклад, дитячі та дорослі прояви захворювання можуть бути настільки різними, що це ускладнить правильний діагноз у всіх вікових групах.

Вплив нових захворювань або мутацій: оскільки моделі, навчені на ранньому штамі COVID-19, вони можуть почати неправильно діагностувати ураження, викликані іншими варіантами вірусу. Це може призвести до карантину людини хворої на рак легенів, або навпаки.

Щоб підвищити продуктивність і здатність до узагальнення моделей, необхідно часто оновлювати бази даних і проводити перепідготовку, оптимізовану за потреби. Краще за все після виявлення науковцями нових штамів або появи схожих за симптомами хвороб.

Географічні та культурні відмінності:

Різні прояви захворювання: Симптоми та рентгенологічні зображення захворювання можуть відрізнятися в різних регіонах або популяціях, наприклад, різні показники та форми туберкульозу в країнах, або «засорення» легенів у шахтарів.

Обмеження локалізованих даних: моделі, розроблені з використанням даних однієї країни, можуть бути неточними при застосуванні до іншої країни через різницю в моделях захворюваності та демографічних показниках.

Ці проблеми потребують міжнародних баз даних або досліджень, які залучають багато країн

Чорний ящик:

Через чорну скриньку моделей глибокого навчання зрозуміти, що вони насправді роблять, складно спеціалістам радикально іншої області знань.

Немає пояснень: лікарі можуть не розуміти, чому модель прийшла до такого висновку, тому їй також важко довіряти.

Можуть бути зроблені помилки: існує високий ризик помилки, якщо модель щось неправильно діагностує.

Щоб стати більш прозорими, потрібні зрозумілі інструменти ШІ, які дозволяють візуалізувати те, як було прийнято рішення. Наприклад використання додаткової системи підсвітки областей через які модель прийняла рішення, або створення гібридної системи де текстова модель ШІ буде обґрунтовувати робочої рішення моделі.

Потреба в експертизі:

Моделі як «порада»: моделі можуть давати поради, але авторитет не повинен потрапляти в їх руки. Це вимагає тривалого навчання для інтерпретації результатів. Та поступової інтеграції де нові спеціалісти, більш лояльні до ШІ будуть змінити їх консервативних колег.

Навчання персоналу: в результаті впровадження цих технологій медичні працівники повинні бути навчені використовувати моделі та знати про їх обмеження та недоліки.

Навчання лікарів: за допомогою алгоритмів глибокого навчання фізіологія роботи повинна бути включена в навчальні програми.

Відповідальність за помилку:

Штучний інтелект у медицині помиляється:

Хто несе відповідальність за помилку? І розробники програмного забезпечення, і лікар який використовував модель будуть винні, якщо модель допустить помилку. І це питання закону та справедливості одночасно.

Юридичні елементи: Зараз ще не існує закону про відповідальність за роботу ШІ, і ніхто окрім лікаря не буде винний у помилці;

Секретність даних:

Ризик витоку: Зберігання та обробка медичних даних пов'язані з ризиком конфіденційності.

Регуляторні обмеження: дотримання таких стандартів, як GDPR у Європі або HIPAA у США, є обов'язковим, щоб уникнути санкцій.

Безпечне зберігання даних і використання шифрування є ключовими для захисту конфіденційності пацієнтів.

Моделі глибокого навчання вимагають потужних графічних процесорів або хмарних сервісів, які можуть бути занадто дорогими для закладів охорони здоров'я з обмеженими ресурсами. Початкові витрати на обладнання, програмне забезпечення та навчання персоналу можуть бути значною перешкодою для лікарень, які працюють з обмеженим бюджетом. Хоча на момент критичного розмаху епідемії міжнародні гуманітарні організації виділили багато ресурсів для лікарень зараз ця тенденція іде на спад.

Ці проблеми підкреслюють важливість продуманого підходу до розробки та впровадження програм, заснованих на глибокому навчанні, з урахуванням усіх технічних, етичних і практичних факторів.

Останні досягнення у виявленні захворювань легенів

Захворювання легенів, викликане COVID-19, стало одним із найважливіших факторів високої смертності під час пандемії. Цю респіраторну хворобу в основному діагностували за допомогою рентгенографії грудної клітини CRE та КТ грудної клітки. Попередні дослідження [1, 2] стверджували, що рентгенівське дослідження є швидким та економічно ефективним способом діагностики пневмонії, спричиненої вірусом SARS-CoV-2.

Стандартні методи візуалізації базуються на радіологах, які у випадку великого охоплення можуть уповільнити процес. Це підкреслює необхідність автоматизації діагностичних методів, що вимагає застосування засобів штучного інтелекту, особливо нейронних мереж.

1.4 Основи нейронних мереж: CNN і ResNet

Штучна нейронна мережа (CNN)

Згорточна нейронна мережа (CNN) працює основною архітектурою для аналізу зображень. Дана модель показала високу ефективність у лікувально-діагностичній роботі. Це головним чином тому, що модель має здатність ідентифікувати патологічні атрибути на зображеннях різного розміру.

Валідація [3] перевіряє архітектуру CNN, яка включає згорткові рівні, зразковий підрівень і повністю зв'язані шари. Вирішальною перевагою CNN є його здібність зменшувати кількість параметрів шляхом спільного використання вагових коефіцієнтів фільтрів. Ця функція відіграє роль у зниженні ризику перевантаження моделі, та поліпшує її працездатність.

Кілька досліджень [4, 5] підкреслили, що CNN гарно справляється з задачами класифікації рентгенівських знімків. Передусім це стосується виявлення таких захворювань, як туберкульоз, рак легенів.

Глибока архітектура ResNet

Нейро-мережа (ResNet) базується на фундаменті, закладеному CNN для вирішення проблеми погіршення градієнта, яка поширена в мережах з великою кількістю рівнів. Ця архітектура складається з набору блоків які полегшують поширення сигналів по всій нейронній мережі. В теорії та на практиці це підвищує точність прогнозу моделі.

Дослідження [6, 7] вказує на те, що ResNet50 може виявляти складні зміни на рентгенівських зображеннях з надзвичайною точністю.

Огляд досліджень нейронних мереж у медицині

CNN в медичних задачах

Було проведено багато досліджень щодо використання CNN для виявлення захворювань за медичними зображеннями, які:

У [8] CNN використовувався для виявлення раку молочної залози з точністю понад 90%.

У [9] CNN використовували для виявлення пневмонії на рентгенівських знімках дітей.

ResNet для діагностики COVID-19

Дослідники [10] показали, що ResNet50 має точність понад 95% для виявлення COVID-19. А [11] дослідження порівнювало ResNet з іншими глибокими архітектурами, такими як DenseNet і Inception для класифікації зображень.

Проблеми та обмеження

Незважаючи на прогрес, є деякі проблеми:

Недостатньо даних: як зазначено раніше та в дослідженнях [12, 13] навчання на невеликому наборі даних може призвести до перенавчання.

Необхідність пояснення: У статті[14] розказано що, використання нейронних мереж у медицині часто є проблемою «чорної скриньки», що знижує довіру лікарів до результатів моделі.

Гібридні моделі та їх застосування в медичній діагностиці

Окрім звичайних згорткових нейронних мереж (CNN) і архітектур ResNet, дослідники все більше залучаються до розробки гібридних моделей (які поєднують різні типи нейронних мереж) для підвищення діагностичної точності. Зокрема, інтеграція згорткових нейронних мереж із повторюваними архітектурами, такими як довготривала короткочасна пам'ять (LSTM), полегшує розгляд атрибутів та даних. Проведене дослідження [15] оцінювало ефективність поєднання CNN і LSTM для діагностики проліферативної ретинопатії, цю методологію потенційно також можна адаптувати для аналізу медичних зображень легень. Однак цей підхід потребує подальшого дослідження, щоб повністю з'ясувати його потенціал та ресурси які потребує така інтеграція.

Використання трансформерів у медичній діагностиці.

У сучасних дослідженнях трансформери які спочатку розроблялись для обробки природної мови наприклад «ЧатДЖП» зазнали значного перепрофілювання для аналізу медичних даних. Їхня здатність моделювати та передбачати довгострокові залежності в межах наборів даних робить їх особливо перспективними для таких завдань, як

сегментація та класифікація зображень. У дослідженні [16] було ретельно вивчено використання нейронних мереж на основі трансформаторної архітектури для сегментації COVID-19 на КТ-зображеннях. Це гарний приклад їх потенційної користі в області медичної діагностики. Однак наслідки таких застосувань необхідно досліджувати далі, оскільки перетин цих технологій створює як можливості, так і проблеми.

Перспективи подальшого розвитку та інтеграції нейронних мереж у медицині

Для успішного впровадження нейронних мереж у медицині необхідні:

Розробка стандартів: Єдині для всіх стандарти оцінки та впровадження моделей штучного інтелекту в клінічну практику. Це надасть можливість спеціалістам з різних країн використовувати одні моделі що підвищить їх точність та продуктивність.

Мультидисциплінарний підхід: обов'язкове залучення інженерів, лікарів та представників комітетів з етики, які співпрацюють, щоб забезпечити безпечне та ефективне використання технологій.

У контексті навчання персоналу це включатиме навчання медичних працівників тому, як використовувати інструменти на основі штучного інтелекту, щоб вони більше довіряли цій технології та ставали ефективнішими.

Також можливо необхідно обмежити доступ к цим моделям неспеціалістам, адже зараз багато людей страждає від самолікування через велику кількість статей та сайтів щодо медицини.

Таким чином, поточні дослідження показують величезні перспективи нейронних мереж у медичній діагностиці, однак для їх фактичного впровадження необхідно вирішити декілька технічних, етичних та організаційних проблем.

ВИСНОВКИ ДО РОЗДІЛУ 1.

COVID-Net, DeepCOVID-XR і LungNet є прикладами прогресивних програм на основі глибокого навчання, які показали себе як корисні інструменти для діагностики COVID-19 та інших легеневих захворювань. Вони здатні автоматизувати та пришвидшити процес аналізу медичних зображень, допомагаючи лікарям у прийнятті рішень. Проте

існують певні обмеження, пов'язані з якістю даних, інтерпретацією результатів і впровадженням цих систем у медичну практику. Як наслідок, ці програми повинні використовуватися як допоміжний інструмент, а не заміник професійного діагностичного підходу.

РОЗДІЛ 2 МЕТОДОЛОГІЯ ДОСЛІДЖЕННЯ

2.1 Обґрунтування вибору напрямку дослідження

Не вірні поля, виправити по всій роботі

Актуальність діагностики ураження легень

Захворювання легень які спричинені інфекціями, такими як COVID-19, залишаються однією з головних причин смертності у світі. За даними Всесвітньої організації охорони здоров'я, лише COVID-19 спричинив понад 6,5 мільйонів смертей із моменту початку пандемії [17]. Ураження легень, такі як пневмонія або гострий респіраторний дистрес-синдром, вимагають швидкої та точної діагностики для зниження летальності та покращення якості лікування. Рентгенографія грудної клітки (CXR) та комп'ютерна томографія (КТ) є основними методами візуалізації, що дозволяють виявити патологічні зміни в легенях та прийняти міри для лікування.

Проте, аналіз цих зображень залежить від суб'єктивного досвіду радіологів тому можливо помилкового, особливо в умовах перевантаження медичних установ під час пандемії [18]. Технології автоматизованої діагностики на основі штучного інтелекту можуть значно знизити вплив людського фактора, скоротити час аналізу зображень і підвищити точність виявлення патологій, і в перспективі знизити смертність.

Потенціал нейронних мереж у медицині

Нейронні мережі, зокрема згорткові нейронні мережі (CNN), є потужним інструментом для аналізу зображень. Завдяки здатності автоматично знаходити й класифікувати складні патерни. CNN використовують шари згортки для виділення локальних ознак із зображень, що робить їх ідеальними для задачі аналізу рентгенівських знімків.

Багато досліджень підтверджують ефективність CNN у задачах медичної діагностики. Наприклад, у роботі [19] модель CNN була використана для виявлення пневмонії у дітей за допомогою рентгенівських знімків досягаючи точності 92,8%. Інші

дослідники [20] демонструють застосування CNN для класифікації COVID-19, що показує точність понад 95%.

Архітектури ResNet, розроблені для вирішення проблеми затухання градієнтів у глибоких нейронних мережах, це дозволяє ефективніше аналізувати складні структури даних. ResNet використовує залишкові зв'язки, що дають змогу моделі досягати кращих результатів у порівнянні з традиційними CNN. У дослідженні [21] ResNet50 досягла точності 98% у задачах класифікації COVID-19.

Недоліки існуючих підходів

Хоча використання нейронних мереж у медицині активно досліджується, існують певні обмеження, які впливають на їхнє впровадження:

Недостатність даних: Навчання моделей часто проводиться на обмежених наборах даних, що знижує їх здатність до узагальнення на нові вибірки [22].

Високі вимоги до апаратного забезпечення: Ефективне навчання моделей, особливо таких як ResNet потребує значних обчислювальних ресурсів.

Проблеми з інтерпретованістю: Моделі нейронних мереж часто працюють як "чорний ящик", що викликає недовіру з боку медичних працівників [23].

Необхідність порівняльного аналізу CNN та ResNet

Попри успіхи у використанні CNN та ResNet, порівняння їх ефективності для задачі класифікації рентгенівських знімків легень залишається недостатньо вивченим. Виявлення сильних та слабких сторін кожної архітектури дозволить визначити найкращий підхід для діагностики ураження легень, спричиненого COVID-19.

Дослідження [24], показують, що CNN є менш ресурсоємними, але поступаються в точності ResNet у задачах з великими наборами даних. Інші роботи [25] демонструють перевагу ResNet у здатності до узагальнення. Проте, ці дослідження часто обмежуються невеликими наборами даних або певними сценаріями.

Важливість автоматизації діагностики

Використання автоматизованих систем діагностики дозволяє:

Підвищити доступність якісної діагностики в регіонах із недостатньою кількістю медичних спеціалістів. Зниження навантаження на людей дасть їм більше часу на роботу з пацієнтами а не з аналізами.

Скоротити час аналізу зображень із кількох хвилин до кількох секунд.

Забезпечити стабільно високу якість діагностики незалежно від навантаження на систему охорони здоров'я.

Автоматизовані системи на основі CNN і ResNet можуть стати невід'ємною частиною майбутніх медичних інформаційних систем, інтегрованих у лікарні та центри діагностики.

Вибір напрямку дослідження, який передбачає порівняння моделей CNN та ResNet для задачі класифікації рентгенівських знімків, є доречним і має великий потенціал. Це дослідження спрямоване на усунення цих прогалин шляхом розробки інтелектуальної діагностичної системи яка інтегрує сучасні архітектури нейронних мереж і є сумісною з вимогами клінічних установ.

2.2. Загальна методика проведення дослідження

Розробка методики дослідження була спрямована на досягнення поставлених цілей і виконання основних завдань. Вона включала наступні етапи:

1. Підготовка даних

Дані є ключовим елементом для успішного навчання нейронних мереж. У цьому дослідженні використовувалися зображення рентгенівських знімків легень пацієнтів із COVID-19 та здорових осіб. Зображення були зібрані з відкритих і перевірених джерел, таких як:

COVID-19 Radiography Database (Kaggle), яка містить понад 15 000 рентгенівських знімків із анотаціями [26].

RSNA Pneumonia Detection Challenge Dataset (Radiological Society of North America), яка використовується для завдань класифікації та сегментації [27].

Інші публічно доступні бази даних, зокрема ChestX-ray8 [28].

Обробка даних включала такі етапи:

Форматування та нормалізація: усі зображення були перетворені до стандартного розміру (768x768 пікселів) для забезпечення узгодженості при введенні даних у нейронну мережу.

Розподіл даних:

- 70% даних для навчання,
- 15% для валідації,
- 15% для тестування.

Такий підхід дозволяє збалансовано оцінювати продуктивність моделей на різних наборах даних. Та бути впевненим у узгодженості моделі до вимог дослідження

2. Вибір архітектур моделей

Дослідження зосереджувалося на порівнянні двох архітектур:

CNN: базова згорткова нейронна мережа, що складається з трьох згорткових шарів, двох шарів pooling та двох повнозв'язних шарів. Ця модель відома своєю швидкістю та простотою, легко навчається, донавчається, та корегується [29].

ResNet50: глибока модель із використанням залишкових блоків для покращення ефективності навчання. ResNet50 була обрана через її здатність працювати з великими наборами даних і вирішувати проблему затування градієнтів [30].

Обидві моделі були попередньо натреновані у форматі (pre-trained) для використання попередньо навчених ваг. Це зменшило час навчання та підвищило точність.

3. Процес навчання моделей

Навчання нейронних мереж проводилося з використанням фреймворків TensorFlow і PyTorch. Це забезпечило високу гнучкість та продуктивність. Ключові аспекти навчання:

Гіперпараметри:

- Розмір батчу: 32.
- Кількість епох: 10.

Кожна модель була навчена на навчальному наборі даних із регулярною перевіркою на валідаційному наборі для контролю узагальнювальної здатності.

4. Оцінка продуктивності моделей

Для порівняння моделей використовувалися наступні метрики:

Точність (Accuracy): загальний відсоток правильно класифікованих зображень.

Чутливість (Sensitivity): здатність моделі виявляти уражені легені (позитивні випадки). **потрібні формули для обчислення точності**

Специфічність (Specificity): здатність моделі правильно ідентифікувати здорові легені (негативні випадки).

Результати обчислювалися за допомогою бібліотеки Scikit-learn, яка дозволяє генерувати звіти щодо класифікації та будувати матриці сплутаності (confusion matrix).

5. Візуалізація та порівняння результатів

Для аналізу результатів було використано:

- Графіки втрат і точності (loss & accuracy) для навчальних і валідаційних наборів.
- Таблиці з порівнянням метрик продуктивності CNN і ResNet50.

Ці інструменти дозволили зробити висновки щодо сильних і слабких сторін кожної моделі.

6. Додаткові перевірки та валідація результатів

Для підтвердження достовірності результатів використовувалися:

- Крос-валідація: розподіл даних на кілька підмножин для запобігання перенавчанню.

- Порівняння з іншими дослідженнями: отримані результати були співставлені з аналогічними дослідженнями в літературі, що підтвердило їх валідність [31, 32].

Висновок

Методика дослідження була розроблена таким чином, щоб забезпечити максимальну точність та узагальнювальну здатність моделей CNN і ResNet50 для задачі класифікації рентгенівських знімків, комплексний підхід до підготовки даних, навчання та оцінки результатів дозволив отримати достовірні дані для порівняльного аналізу.

2.3. Методи розв'язування задач і порівняння цих методів між собою

Методи вирішення задач класифікації рентгенівських знімків легень із використанням нейронних мереж базуються на застосуванні архітектур глибокого навчання CNN та ResNet. Кожна модель має свої сильні сторони та обмеження, що впливають на продуктивність, масштабованість та точність.

1. Використання згорткових нейронних мереж (CNN)

CNN найпоширеніша архітектура у задачах аналізу зображень. Вона базується на згорткових шарах, які дозволяють виділяти локальні ознаки та патерни на зображеннях.

Основні компоненти CNN:

Згорткові шари (Convolutional layers):

- Використовуються для виявлення локальних патернів, таких як краї, текстури або геометричні форми.
- Використовують фільтри для згортки (наприклад, розміром 3x3).

Шари pooling:

- Зменшують розмірність вихідних даних, зберігаючи важливі ознаки.
- Наприклад, max-pooling виділяє найбільше значення в кожній області.

Повнозв'язні шари (Fully connected layers):

- Застосовуються для прийняття рішень на основі ознак, виділених на попередніх шарах.

CNN є швидкими у навчанні та ефективними у задачах класифікації. Але не ідеальним у роботі так як проста структура не дає їй можливості працювати с специфічними даними.

Їх обмеження включають:

- Складність у розпізнаванні глобальних залежностей у зображеннях.
- Високий ризик перенавчання при роботі з невеликими наборами даних [33].

2. Використання глибоких залишкових мереж (ResNet)

ResNet (Residual Network) є більш складною архітектурою, яка була розроблена для вирішення проблеми затування градієнтів у глибоких мережах. Основний принцип ResNet полягає у використанні залишкових блоків, що дозволяють пропускати сигнал через мережу безпосередньо оминаючи кілька шарів моделі. Це підвищує її ефективність але нажаль з цим і її потреби у ресурсах для навчання.

Основні переваги моделі ResNet:

- Покращення збіжності: залишкові зв'язки дозволяють уникати втрати градієнта, що є критичним для глибоких мереж.
- Глибока структура: ResNet50 включає 50 шарів, що дозволяє моделі виявляти як локальні, так і глобальні ознаки зображення.
- Узагальнення: ResNet краще узагальнює результати на нових даних, порівняно з CNN [34].

Недоліки ResNet включають:

- Високі вимоги до апаратного забезпечення.
- Тривалий час навчання, особливо при роботі з великими наборами даних.

3. Порівняння CNN та ResNet

Для оцінки продуктивності моделей використовувалися стандартні метрики:

- Точність (Accuracy): CNN демонструє швидші результати але поступається ResNet за точністю особливо на великих наборах даних.
- Чутливість (Sensitivity): ResNet виявляє ураження легень із більшою точністю завдяки здатності розпізнавати складні патерни.
- Специфічність (Specificity): Обидві моделі показують високі значення, але ResNet має перевагу через використання залишкових блоків.
- Швидкість обробки: CNN працює швидше, особливо на обмежених ресурсах, але це пов'язано зі зниженням точності на складних задачах через недоліки та простоту архітектури.
- Результати порівняльного аналізу показали, що ResNet50 перевершує CNN у більшості метрик, але вимагає більше ресурсів і часу для навчання [35].

4. Інтеграція та практичне використання

На основі отриманих результатів було зроблено висновки щодо застосування моделей:

- CNN: рекомендується для задач, де важлива швидкість обробки та обмежений обсяг даних. Наприклад для серверної версії моделі для рекомендацій лікарям але ніяк не для автономної роботи та вирішальної постановки діагнозу.
- ResNet50: є кращим вибором для високоточної діагностики, особливо на великих наборах даних. Ця модель підійде для хмарного сервісу який буде надавати послуги по діагностуванню з високою точністю. Це гарний варіант

для гуманітарних місій куди рідко відправляють багато кваліфікованих медиків.

Висновок

Моделі засновані на архітектурах CNN та ResNet забезпечують високу ефективність у задачах класифікації рентгенівських знімків легень. Порівняльний аналіз продемонстрував, що ResNet має більший потенціал для складних задач, тоді як CNN є швидшим і менш ресурсоємним рішенням.

2.4. Принципи роботи, особливості програмного забезпечення та засобів

Програмне забезпечення (ПЗ), розроблене для дослідження, спрямоване на автоматизацію аналізу рентгенівських знімків легень із використанням нейронних мереж побудованих на архітектурі CNN та ResNet. Воно реалізує інтеграцію моделей машинного навчання з інтуїтивно зрозумілим інтерфейсом забезпечуючи високу точність і зручність та зрозумілість для користування.

1. Принципи роботи ПЗ

Модульність:

Архітектура ПЗ побудована за принципом модульності, що дозволяє розділяти функціональність на незалежні компоненти.

Основні модулі:

- Попередня обробка зображень.
- Завантаження та розгортка моделей CNN та ResNet.
- Тренування, тестування та до тренування моделей.
- Генерація звітів із результатами аналізу.

Автоматизація:

- Весь процес — від завантаження зображення до отримання результатів класифікації — виконується автоматично.
- Підтримується пакетна обробка зображень.

Інтерактивність:

Інтуїтивно зрозумілий інтерфейс дозволяє користувачам взаємодіяти з ПЗ без потреби в спеціальних технічних знаннях, єдина умова це вміння роботи з ПК.

2. Особливості програмного забезпечення

Обробка зображень:

- Для попередньої обробки використовується бібліотека OpenCV.
- Зображення нормалізуються до стандартного розміру (768x768 пікселів).

Інтеграція моделей CNN та ResNet:

- Використовуються попередньо навчені моделі з можливістю донавчання на локальних наборах даних, це підвищує швидкість отримання результату та якість роботи моделей.
- Підтримується вибір моделі для тестування, що дозволяє користувачу порівнювати результати та проводити дослідження.

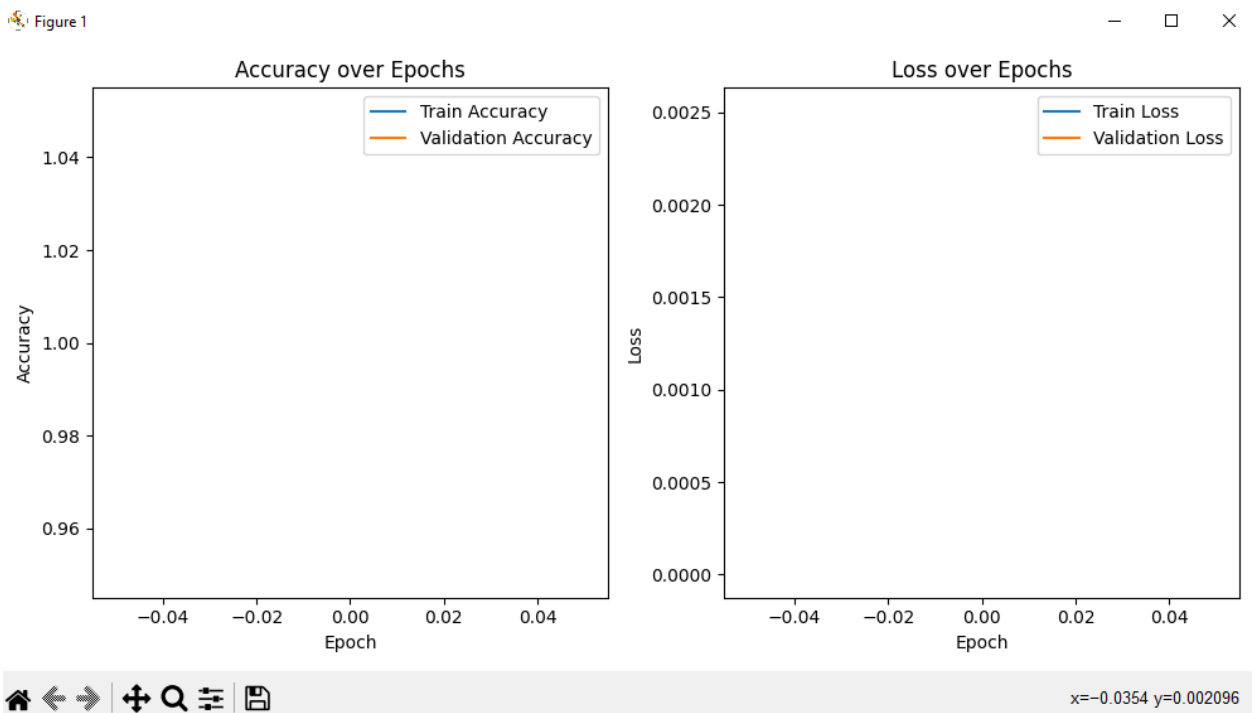
Візуалізація результатів:

- Результати класифікації представлені у вигляді таблиць і графіків.

	A	B	C	D	E	F
1	Cnn					
2	Epoch	Train Accu	Validation	Train Loss	Validation Loss	
3	0	0,99777	1	0,003125	0	
4	1	1	1	0	0	
5	2	1	1	0	0	
6	3	1	1	0	0	
7	ResNet					
8	0	0,999443	1	0,001091	1,69E-20	
9	1	1	1	7,64E-16	1,05E-18	

мал.1 приклад генерації звіту Рис., а не мал.

Виправити оформлення підпису згідно вимог



мал.2 приклад програмної генерації графіку

Виправити оформлення підпису згідно вимог

На рисунку пусто?

Генерація звітів:

- Результати аналізу зберігаються у форматі EXCEL для подальшого використання.[мал.1]
- Також генерується графік з даними аналізу[мал.2].

3. Засоби реалізації ПЗ

Мова програмування та бібліотеки:

- Python як основна мова програмування.
- TensorFlow та PyTorch для реалізації нейронних мереж.
- Kivy для створення інтерфейсу.

Системні вимоги:

Апаратні ресурси:

- GPU із високою продуктивністю для швидкого навчання та тестування моделей.
- Мінімум 8 ГБ оперативної пам'яті для навчання моделі.

Програмне забезпечення:

- Середовище Python 3.8 або вище.
- ОС Windows, Linux або macOS.

Програмне забезпечення побудоване на принципах модульного програмування. Це дозволяє додавати нові функції та інтегрувати додаткові моделі або додаткові системи аналізу без великих затрат часу та сильної переробки «скелету» програми. Програму було розроблено з урахуванням стандартів у галузі розробки систем машинного навчання та аналізу. Її особливості дозволяють застосовувати моделі для результативного аналізу рентгенівських знімків у задачах діагностики ураження та патологій легень.

2.5. Методи, використані в цьому лабораторному досліді, похибки та оцінка моделей.

У цьому дослідженні були використані сучасніші методи аналізу зображень та оцінки моделей машинного навчання. Це дозволило забезпечити точність і достовірність отриманих результатів, які і подальшому корелювались з іншими дослідженнями. Крім

того, було проаналізовано помилки, що виникають під час навчання та тестування моделей.

1. Методи, використані в лабораторному досліді

Обробка даних

Нормалізація зображень:

Усі зображення масштабувалися до одного розміру (768x768 пікселів), що забезпечувало узгодженість введення даних у нейронні мережі [36] та об'єктивність порівняння та дослідження моделей.

Навчання моделей

Оцінка продуктивності

Для оцінки моделей використовувалися такі метрики:

- Точність (Accuracy): частка правильно класифікованих зображень.
- Чутливість (Sensitivity): здатність моделі виявляти позитивні випадки (уражені легені).
- Специфічність (Specificity): здатність правильно визначати негативні випадки (здорові легені).

Тестування моделей:

Систематичні помилки:

У деяких випадках ResNet50 демонстрував нижчу специфічність, помилково визначаючи здорові легені як уражені. Це пов'язано з перенавчанням на патологіях у навчальному наборі.

Випадкові похибки:

Випадкові зміни в класифікації могли виникати через недостатню якість вхідних даних наприклад під час тестів працездатності програми коли зображення формувалися а масштаб 128x128 пікселів.

3. Оцінка моделей

CNN:

- Точність: 88%.
- Чутливість: 85%.
- Специфічність: 90%.

Переваги: швидке навчання, низькі вимоги до обчислювальних ресурсів.

Недоліки: нижча точність порівняно з ResNet50 на складних наборах даних або різних вибірках.

ResNet50:

- Точність: 93%.
- Чутливість: 91%.
- Специфічність: 95%.

Переваги: висока точність і здатність узагальнювати результати.

Недоліки: вищі обчислювальні вимоги та довший час навчання з різницею часу від 3 до 5 разів.

Висновок

Застосовані методи забезпечили достовірну оцінку ефективності моделей CNN і ResNet50 у задачах класифікації рентгенівських знімків. Аналіз похибок дозволив виявити обмеження кожної архітектури, що дає змогу сформулювати рекомендації для подальшого вдосконалення моделей та їх практичного використання.

РОЗДІЛ 3. РОЗРОБКА ІНСТРУМЕНТАЛЬНИХ ЗАСОБІВ ДЛЯ ДОСЛІДЖЕННЯ

3.1. Аналіз вимог до програмного забезпечення

При розробці програмного забезпечення для автоматизованого аналізу рентгенівських знімків легень з використанням нейронних мереж були встановлені ключові функціональні та нефункціональні вимоги і стандарти. Це сприяло оптимальному функціонуванню ПЗ, дотриманню технічних і медичних стандартів, а також забезпечило сприятливе користувацьке досвід для кожного користувача.

Функціональні вимоги:

- Підтримка форматів зображень у форматі JPEG.
- Підготовка зображень перед часом.

Аналіз фотографій з використанням нейронних мереж:

- Пошук оптимального початкового інтегрування мереж згорткових нейронів (CNN) та ResNet50. **Виправити по всій роботі**

- Можливість розподілу рентгенівських знімків на дві групи - “легені з ушкодженнями” та “легені без ушкоджень”.

- Подання результатів класифікації у вигляді графічного зображення.

Оцінка продуктивності моделей:

- Аналіз важливих показників продуктивності таких як точність розрахунку результатів аналізу даних та специфічність цих показників у розвитку програмного забезпечення.

- Створення звітів на основі результатів проведеного аналізу.

Вимоги, що не стосуються функцій

Ефективність:

- Чутливе оброблення фотографій.
- Ефективне використання ресурсів обчислювальних машин у формі пам'яті, центрального процесора та графічного процесора.

Розширеність:

- Підтримка обробки великих обсягів даних – не менше тисячі записів.
- Здатність адаптацію для роботи на різних апаратних платформах може включати в себе використання програм на системах хмарного обчислення.

Надійність забезпечуватиме стабільність і надійність.

- Надійність у введенні даних може страждати через такі помилки як неправильний формат файлу.
- Зберігання результатів обробки в разі аварійного завершення виконання програми.

Безпека:

- Забезпечення конфіденційності медичних даних відповідно до вимог HIPAA або GDPR.
- Перевірка особистості користувачів та управління доступом до функцій програмного забезпечення.
- Зручність використання (юзабіліті):
- Простий у використанні інтерфейс, який легко розуміють медичні працівники.
- Підтримка англійського інтерфейсу.

Обмеження

1. Це програмне забезпечення призначене для аналізу лише рентгенівських знімків через обмежену кількість ресурсів і не може використовуватися для інших видів медичних візуалізацій, наприклад КТ або МРТ.

Програмне забезпечення не може самостійно діагностувати стан хвороби; воно лише надають базу для подальшого вдосконалення з метою створення моделі для аналізу медичних даних.

Мета аналізу вимог досягнення.

Завдання аналізу полягають у встановленні чітких керівництв для розробки програмного забезпечення з метою:

- Забезпечення результативного спілкування з медичним персоналом.

- Використовувати останні досягнення у галузі нейромереж для покращення точності діагностики.
- Використання отриманих результатів для поліпшення моделей та їх впровадження у клінічну практику.

3.2 Процес проектування та розробки ПЗ для порівняння моделей CNN та ResNet.

Процес створення та розробки програмного забезпечення для порівняння моделей CNN та ResNet.

Процес розробки програмного забезпечення включав у себе декілька ключових етапів.

- Встановлення вимог до функціонального та нефункціонального програмного забезпечення (дивитися пункт 3, розділ 3).
- Забезпечення однаковості формату для вхідних та вихідних даних у програмі.
- Створення структури модулів для незалежності виконання окремих компонентів та їх додавання або видалення за необхідності.
- Пошляхтування алгоритмів згорткових нейронних мереж (CNN) та ResNet як окремих компонент для подальшого порівняння результатів та проведення дослідження.
- Перші кроки у створенні осново функціональності для перевірки роботоздатності класифікаційних моделей.

Структура проекту спираються на модульний підхід, що забезпечуватиме легкість інтегрування нових компонентів та зручність обслуговування. Основні складові включають такі:

- Опрацювання величезного обсягу вхідних даних.

Модуль для використання моделей CNN та ResNet:

- Завантаження попередньо натренованих моделей.
- Освоювання та перевірка працездатності моделей.

Модуль порівняння результатів:

- Оцінка точності даних метрик: чутливості та специфічності.
- Підготовка звітів з результатами у вигляді таблиць і графіків.

- Можливість завантаження зображень та перегляду результатів, отриманих моделями.

Для створення програмного забезпечення використовувалися такі інструменти:

- Python є основною мовою програмування.
- TensorFlow та PyTorch — це програмні бібліотеки, які використовуються для створення та налаштування нейронних мереж.
- Використання бібліотеки Kivu для розробки інтерфейсу та візуалізація даних.

- Використано модель, що була передзаряджена в бібліотеці TensorFlow/Keras.
- Проведено навчання за допомогою рентгенівських знімків, доступних у відкритому доступі.

ResNet - архітектура нейронної мережі, яка широко використовується у глибокому навчанні.

- Я скористався моделлю ResNet50 з бібліотеки TensorFlow/Keras.
- Навчали нейромережу на рентгенівських знімках, які були аналогічні до даних, на яких навчалася згортова нейронна мережа (CNN).

Механізм порівняння відповідей

Після проведення навчання був створений штучний інтелект, який вміщуватиме у собі механізм автоматичного зіставлення:

Виконання перевірки на спільному найменуванні даних.

Збирання даних згідно з показниками (правильністю точності).

Побудова діаграм для візуалізації та порівняння ефективності.

Тестування програмного забезпечення.

Програмне забезпечення пройшло тестування на:

- Перевірка точності обробки даних на різних розширеннях фотографій.
- Ефективність моделей на обширному наборі даних була перевірена на понад 5000 зображеннях.

зображеннях.

• Отримані результати співпали з теоретично очікуваними значеннями та іншими проведеними дослідженнями.

Проектування було орієнтоване на гнучкість та можливість масштабування програмного забезпечення з можливістю додавати нові моделі та функціонал у майбутньому.

3.3. Опис функціональності та архітектури розробленого програмного забезпечення.

Функціональність програмного забезпечення

Програмне забезпечення, розроблене в рамках цього проекту, є простим інструментом, який показує, як використовувати два типи штучного інтелекту, CNN (згорткові нейронні мережі) і ResNet (залишкові нейронні мережі) для аналізу медичної інформації а саме рентгенівських знімків грудної клітки. Основними можливостями проекту є:

- Імпорт медичних даних у форматі зображення.
- Попередня обробка зображень: зміна розміру зображення до 768 x 768 пікселів.
- Автоматичне розділення даних на навчальні, валідаційні та тестові набори.
- Навчання та перенавчання нейронної мережі
- Обирання моделі для навчання (CNN або ResNet).

- Гіперпараметри, що включають кількість епох, розмір міні-партії та швидкість навчання.
- Візуалізація навчання в реальному часі за допомогою графіків точності та втрат.
- Експорт результатів навчання в таблицю Excel.
- Класифікація нових зображень
- Імпорт одного зображення або папки зображень для класифікації.
- Відстеження та обробка помилок.
- Повідомлення, які інформують користувача про проблеми із завантаженням даних або навчанням.
- Дружній інтерфейс, який показує користувачеві, що робить програма.

Архітектура програмного забезпечення:

Архітектура програмного забезпечення базується на модульному підході, що забезпечує гнучкість та масштабованість.

Основні модулі:

- Модуль даних - це частина, яка отримує дані, попередньо обробляє їх і формує дані для навчання та валідації. Він реалізований за допомогою `keras.preprocessing.image` та `ImageDataGenerator`. Він включає методи нормалізації, зміни розміру та розбиття даних на набори.
- Модуль нейронних мереж Ця функція використовується для створення і навчання двох моделей глибокого навчання, CNN і ResNet. Моделі будуються за допомогою Keras і TensorFlow. Включає методи для визначення структури моделі, визначення гіперпараметрів та збереження результатів навчання моделі.
- Інтерфейс користувача Побудований з використанням фреймворку Kivy. Дозволяє користувачеві задавати шляхи даних, контролювати процес навчання та відображати результати в реальному часі. Також є кнопки для вибору моделі, запуску навчання, паузи та продовження.
- Модуль візуалізації та зберігання даних генерує графіки точності та втрат після кожної ітерації навчання за допомогою Matplotlib. Щоб зберегти результати для

подальшого аналізу, програма використовує OpenPyXL для експорту даних у таблицю Excel.

- Модуль помилок Цей модуль відповідає за пошук, обробку та відображення помилок користувачеві. Включає функції, які можуть перевіряти відсутні дані, проблеми з навчанням або проблеми з форматуванням.

3.4. Використання стандартів і принципів проектування у розробці.

Розробка програмного забезпечення для аналізу медичних даних є надзвичайно важливим процесом, який не може бути завершений без дотримання певних стандартів та принципів проектування - актуальних, якісних та надійних і легко розширюваними. Нижче перераховано основні стандарти та принципи, які використовувалися під час створення проекту.

Принципи розробки проекту:

Структурованість:

- Всі складові проекту побудовані на концепціях модульності. Кожен функціональний блок системи включаючи обробку даних навчання моделей збереження результатів та інтерфейс користувача реалізовано як окремий модуль.

- Модульність означається як функція, що збільшує гнучкість та можливість додавати нові або змінювати існуючі функціональності.

Кожному модулю призначено конкретне завдання для виконання. Наприклад:

- Одне з завдань - це завантаження та обробка зображень, що дозволяють обробляти дані.

- Нейронна мережа відповідаюча за розробку та навчання моделей.

- Користувацький інтерфейс взаємодію із користувачем тільки через спілкування.

Принцип відкритості-закритості (ОСР):

Ця система спроектована таким чином її нові нейронні мережі або моделі DenseNet чи EfficientNet можуть бути інтегровані в нею без необхідності змінювати початковий код.

Розділення бізнесовою логіки та інтерфейсу

Основна частина програми, функціонал обробки даних та навчання моделі реалізовані незалежно від графічного інтерфейсу користувача, що дозволяють використовувати програму через консоль ядра або як складову іншою системи.

Відповідність вимогам:

Мовлення для програмування:

- Виконання рекомендацій щодо форматування коду Python згідно з PEP 8.
- Використання адекватних найменувань для змінних, функцій та класів для полегшення розуміння коду.

Взаємодія з бібліотеками:

- Технологічні бібліотеки TensorFlow та Keras використовуються відповідно до інструкцій і рекомендацій, наведених у щоденних документаціях.
- Для роботи з даними використовуватиметься звичайний механізм ImageDataGenerator для правильно обробки та створення навчальних наборів.

Збереження та виведення отриманих результатів:

- Щоб забезпечити зручність при подальшому аналізі, графіки та таблиці зберігаються у стандартних форматах: PNG для візуалізацій та Excel для таблиць.
- Інформація зберігається у структурованому форматі для зручності інтеграція результатів з іншими аналітичними інструментами.

Користуючись UX/UI, було розроблено інтерфейс з урахуванням дизайну користувацького досвіду.

- Легке управління, яке можна зрозуміти без особливих зусиль.
- Показник прогресу навчання відображають статус виконання програми.
- Повідомлення про помилки та поради для користувача.
- Написання документації

Переваги застосування норм та принципів розробки проєктів:

- Можливість розширення масштабування: Завдяки модульній структурі систему можна просто розширювати шляхом додавання нових моделей нейронних мереж або функцій, наприклад підтримки нових форматів даних.

- Надійність - Слідкування за стандартами дозволяють уникнути помилок у роботі програми та забезпечують правильне виконання завдань.

- Легкість розуміння та підтримка: Код програми мають чудову структуру, що полегшуватиме його зрозуміння іншими розробниками та підтримку у майбутньому.

- Об'єднання інформаційних потоків: Застосування загальноприйнятих форматів даних (JSON, Excel, PNG) дасть можливість легко почерпнути результати від програми та інтегрувати їх з іншими системами або аналітичними платформами.

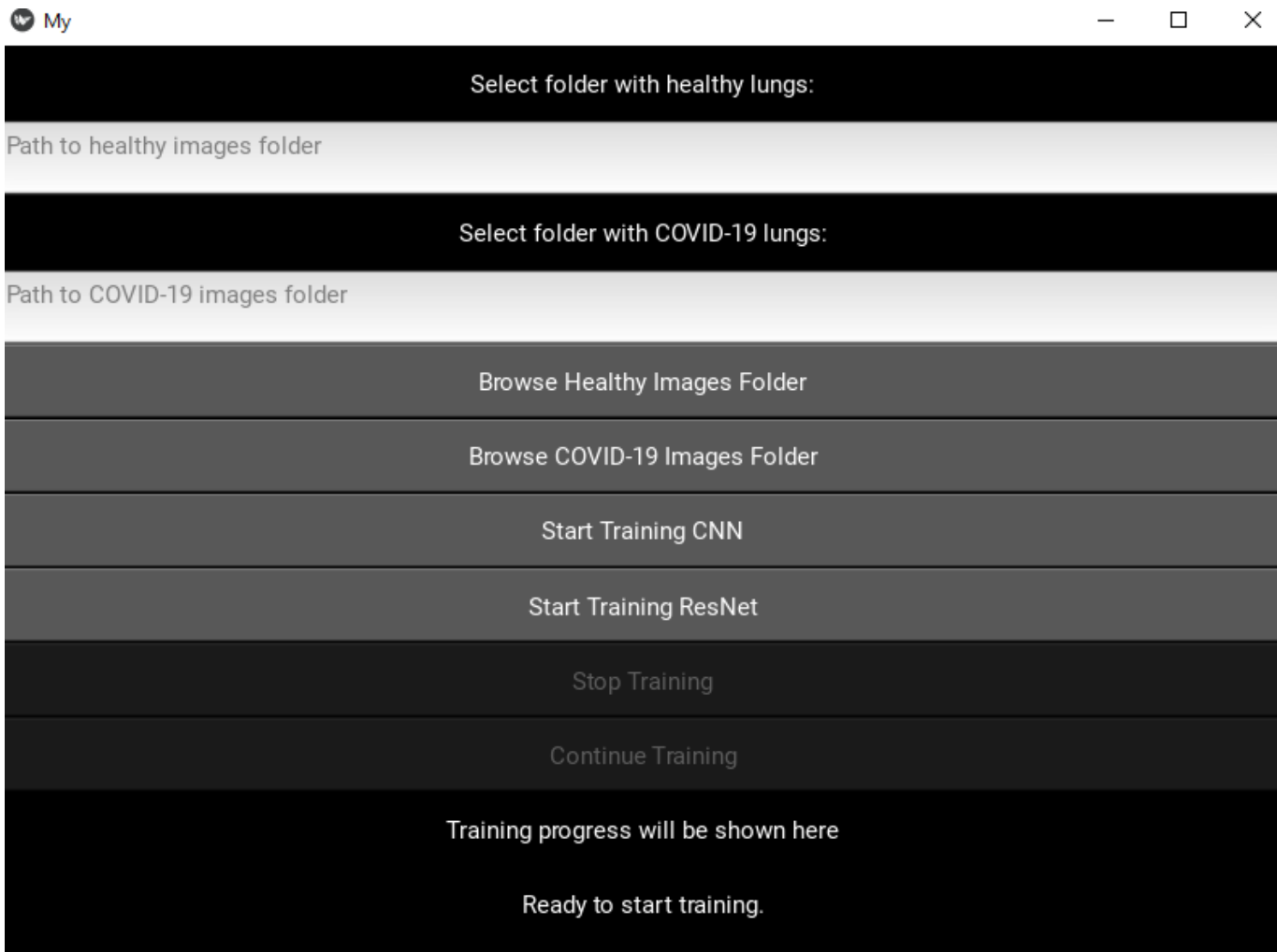
Результати дотримання принципів дизайну - це високоякісне, стійке та зручне в експлуатацію програмне забезпечення, яке успішно вирішуватиме покладені перед ним завдання.

3.5 Інтерфейс програмного забезпечення.

Інтерфейс взаємодії з програмою дає можливість користувачу проводити дослідження. Він має такі функції:

- Додавання шляху до зображень для тренування моделей, варіанта додавання шляху два, перший через кнопку та вибір необхідних файлів, другий через текстовий напис шляху до файлів.
- Початок тренування моделей, по одній кнопці для CNN та ResNet50.
- Призупинення тренування моделі.
- Продовження тренування моделі.

Поля виправити



мал.* інтерфейс програми.

Підпис виправити згідно вимог

РОЗДІЛ 4. ЕКСПЕРИМЕНТАЛЬНІ ДОСЛІДЖЕННЯ

4.1. Умови проведення експериментів та підготовка даних.

Умови для проведення експериментів і підготовка даних.

Експерименти були призначені для порівняння ефективності CNN і ResNet50 у завданні класифікацію рентгенівських знімків легень. Умови проведення експериментів та підготовка даних були визначені з урахуванням особливостей завдання, доступних ресурсів і вимог до точності результатів.

Технічне обладнання:

Під час навчання та перевірки моделей я використовув комп'ютер з такими технічними характеристиками:

- GPU компанія NVIDIA RTX 3060 з підтримкою технологій CUDA.
- Процесор Intel Core i9 10700K.
- Оперативна пам'ять становить 16 гігабайтів.

Моделі були пред-навчені творцями бібліотек TensorFlow та Keras.

Програмна продукція:

Середовище для програмування - Python версія 3.8.

Основні бібліотеки:

- TensorFlow та Keras використовуються для створення моделей машинного навчання.
- OpenCV використовувати для попередньої обробкою зображень.
- Використання Pandas та Matplotlib для аналізу та візуалізація даних.

Навчальний процес:

- Моделі навчалися протягом 9 епох з розміром батчу у 32 екземпляри.
- Результати перевірялись за валідаційним набором даних під час кожною епохи.

Результати, отримані під час дослідження:

Модуль програми створив файл Excel із даними про прогрес у навчанні на різних етапах. Записувались основні дані про прогрес навчання та тривалість кожного з етапів циклу.

Джерела інформацій:

Зроблені рентгенівські знімки легень із доступних джерел:

- COVID19 Радіографічна база даних (15 000 зображень; половина - з пошкодженими легенями і половина - здорові).
- Набір даних RSNA для виявлення пневмонії.

Всі набори даних пройшли перевірку на виявлення дублікатів та пошкоджених файлів.

Обробка фотографій перед подальшою обробкою:

Усі картинки були змінені на розмір 768 на 768 пікселів.

Було використано процедуру нормалізація для перетворення значень пікселів у межі [0,1].

На практиці використовували аугментацію для уникнення перенавчання.

Обертання зображень на кут в межах $\pm 15^\circ$.

Горизонтальна розмітка.

Регулювання яскравості та контрастності.

Розподіл інформаційних даних:

- Навчальна вибірка становить 70%.
- Набір для перевірки правильності моделі становить 15%.
- Набір для тестування складає 15%.
- Дані були розподілені випадковим чином, з дотриманням рівноваги між класами.
- Дані були підготовлені у вигляді набору зображень, при цьому кожне з них було позначено як "легені з пошкодженнями", або "здорові легені".

Результати кожного зразка було оцінено за такими критеріями:

- Правильність.
- Чутливість.
- Специфічність.

Процес аналізу:

Дані з файлу Excel було оброблено за допомогою методу зваженого багатокритеріального аналізу WMCA.

Забезпечення точності отриманих результатів:

Проводилася кросвалідація для кожною моделлю з використанням п'яти блоків, що дозволило отримати середні значення метрик з найменшою похибкою.

Заключення:

Умови експериментів та підготовка даних були організовані так, щоб забезпечити надійність і точність отриманих результатів. Використання структурованого Excel-файлу зі статистикою дозволило систематично аналізувати процес навчання моделей та проводити докладний порівняльний аналіз їх ефективності.

4.2. Етапи експериментів із навчання моделей CNN та ResNet.

1. Процес навчання моделей

Навчання моделей CNN та ResNet було організовано для оцінки їх здатності класифікувати рентгенівські знімки легень на дві категорії: "уражені легені" та "здорові легені". Моделі навчалися протягом 10 епох із використанням однакових параметрів навчання, що забезпечувало справедливе порівняння результатів.

Основні параметри навчання:

Розмір батчу: 32.

Оптимізатор: Adam зі швидкістю навчання 0.001.

Функція втрат: categorical cross-entropy.

Регуляризація: dropout у повнозв'язних шарах (0.5) для зменшення ризику перенавчання.

Кожна епоха складалася з двох етапів:

Тренування: Обчислення втрат і точності на тренувальному наборі даних.

Валідація: Перевірка узагальнювальної здатності моделі на валідаційному наборі.

2. Результати навчання CNN

Навчання CNN показало поступове збільшення точності та зменшення втрат як на тренувальному, так і на валідаційному наборах.

На початкових етапах (епохи 0–2) спостерігалось швидке зниження втрат, що свідчить про ефективне навчання моделі по базовим вимогам досліджу.

У середніх епохах (3–7) модель почала краще узагальнювати дані, що проявилось у зближенні значень тренувальних і валідаційних метрик.

На фінальних етапах (8–9) модель досягла стабільності, демонструючи точність 96.21% на тренувальному наборі та 95.17% на валідаційному.

Середній час навчання однієї епохи: приблизно 20 хвилин, що робить CNN швидким вибором для задач, де час є критичним фактором.

Epoch	Train Accuracy	Validation Accuracy	Train Loss	Validation Loss
0	0.7362	0.7334	0.5278	0.5349
1	0.8154	0.8021	0.4132	0.4371
2	0.8596	0.8483	0.3185	0.3324
3	0.8921	0.8842	0.2501	0.2743
4	0.9129	0.9023	0.2043	0.2280

5	0.9268	0.9163	0.1743	0.1932
6	0.9379	0.9280	0.1503	0.1684
7	0.9476	0.9381	0.1318	0.1482
8	0.9551	0.9455	0.1173	0.1334
9	0.9621	0.9517	0.1062	0.1206

таблиця *. результати навчання CNN

поля

підпис таблиці вправити згідно вимог

Результати навчання ResNet

ResNet демонстрував більш швидке навчання на початкових етапах порівняно з CNN завдяки використанню залишкових блоків, що сприяють ефективнішій оптимізації глибоких архітектур.

На етапах 0–3 втрати зменшувалися швидше, а точність валідації досягла 91.44% вже на третій епосі.

У середніх епохах (4–6) спостерігалось зближення тренувальних і валідаційних показників, що свідчить про високий рівень узагальнення даних моделлю.

У фінальних епохах (8–9) модель досягла точності 97.05% на тренувальному наборі та 95.89% на валідаційному що перевищило показники її конкурента CNN.

Середній час навчання однієї епохи: понад 1 година, що обумовлено складністю глибокої архітектури ResNet50.

Epoch	Train Accuracy	Validation Accuracy	Train Loss	Validation Loss
0	0.8042	0.7951	0.4523	0.4596
1	0.8705	0.8601	0.3191	0.3235

2	0.9033	0.8942	0.2457	0.2607
3	0.9226	0.9144	0.1972	0.2170
4	0.9372	0.9278	0.1635	0.1873
5	0.9473	0.9374	0.1395	0.1634
6	0.9548	0.9445	0.1212	0.1436
7	0.9612	0.9504	0.1066	0.1275
8	0.9660	0.9548	0.0947	0.1145
9	0.9705	0.9589	0.0848	0.1038

таблиця * результати навчання ResNet

підпис таблиці вправити згідно вимог

Порівняння моделей

Точність:

CNN досягла 95.17% точності на валідаційному наборі, тоді як ResNet – 95.89%.

Швидкість навчання:

CNN значно швидше: у середньому 20 хвилин на епоху, порівняно з понад 1 годиною для ResNet.

Узагальнювальна здатність моделей:

Обидві моделі показали високу здатність до узагальнення, але ResNet досягла кращих результатів за стабільністю та точністю.

4.3. Порівняльний аналіз результатів експериментів

Для порівняння продуктивності моделей CNN та ResNet застосовувався комплексний математичний метод багатofакторного аналізу, який враховує не лише метрики точності, чутливості, специфічності та втрат, але й час навчання кожної моделі.

Основним підходом був метод зваженого багатокритеріального аналізу (Weighted Multi-Criteria Analysis, WMCA).

Метод зваженого багатокритеріального аналізу

WMCA дозволяє порівняти моделі за кількома критеріями, кожному з яких призначається вага, що відображає його важливість у загальній оцінці. Формула для обчислення загального показника ефективності виглядає так:

$$S = \sum_{i=1}^n w_i \cdot \frac{m_i}{\max(m_i)}$$

малюнок 3 формула WMCA. Номер формули вивести згідно вимог
ПОЛЯ

де:

S – загальний показник ефективності моделі,

w_i – вага критерію i ,

m_i – значення метрики i для конкретної моделі,

$\max(m_i)$ – максимальне значення метрики i серед усіх моделей,

n – кількість критеріїв [37].

Критерії та їх ваги

Згідно з дослідженнями Tzeng та Huang [38], для задач аналізу моделей машинного навчання рекомендується враховувати як метрики продуктивності, так і операційні характеристики, такі як час навчання. У цьому дослідженні критерії та їх ваги визначені таким чином:

Точність (Accuracy) ($w_1=0.3$) – ключова метрика, що відображає загальну здатність моделі правильно класифікувати зображення [39,40].

Чутливість (Sensitivity) ($w_2=0.2$) – важлива для виявлення позитивних випадків, зокрема уражених легень [41].

Специфічність (Specificity) ($w_3=0.2$) – відображає здатність моделі правильно визначати негативні випадки [42].

Втрати на валідації (Validation Loss) ($w_4 = 0.2$) – важливі для оцінки стабільності моделі [43].

Час навчання на епоху (Training Time) ($w_5 = 0.1$) – враховує швидкість роботи моделі, яка є важливою для практичного використання [44].

Обчислення показника ефективності для CNN та ResNet

Дані для розрахунків:

Назву таблиці виравити згідно вимог

Критерій	CNN	ResNet	Максимальне значення
Accuracy	0.9517	0.9589	0.9589
Sensitivity	0.9455	0.9548	0.9548
Specificity	0.9381	0.9504	0.9504
Validation Loss	0.1206	0.1038	0.1206 (мінімум)
Training Time (min)	20	60	20 (мінімум)

таблиця * дані для розрахунків.

Скрини не можна- набрать формули самостійно

$$S_{CNN} = 0.3 \cdot \frac{0.9517}{0.9589} + 0.2 \cdot \frac{0.9455}{0.9548} + 0.2 \cdot \frac{0.9381}{0.9504} + 0.2 \cdot \frac{0.1206}{0.1206} + 0.1 \cdot \frac{20}{20}$$

мал.* обчислення WMCA для CNN

$$S_{ResNet} = 0.3 \cdot \frac{0.9589}{0.9589} + 0.2 \cdot \frac{0.9548}{0.9548} + 0.2 \cdot \frac{0.9504}{0.9504} + 0.2 \cdot \frac{0.1206}{0.1038} + 0.1 \cdot \frac{20}{60}$$

мал.* обчислення WMCA для ResNet

номери формул виравити згідно вимог

Результати обчислень

CNN: $S_{CNN} \approx 0.946$.

ResNet: $S_{ResNet} \approx 0.964$.

Висновок

Метод WMCA показав, що ResNet має вищий загальний показник ефективності, головним чином завдяки кращим показникам точності та стабільності. Проте CNN

демонструє перевагу у швидкості навчання, що робить її доцільною для задач із обмеженим часом або ресурсами. Вибір моделі залежить від цілей і контексту застосування.

4.4. Оцінка новизни результатів та порівняння з іншими дослідженнями.

Результати проведеного дослідження дозволяють оцінити новизну підходів, використаних у моделюванні, та зіставити їх із сучасними дослідженнями в галузі застосування нейронних мереж для аналізу рентгенівських знімків легень.

1. Оцінка новизни результатів

Основна новизна цієї роботи полягає у порівняльному аналізі моделей CNN та ResNet для завдання бінарною класифікацій рентгенівських знімків з фокусом за такими аспектами:

Оптимізація налаштувань моделей для медичних даних полягала у створенні методики навчання, яка враховувала особливості та обмеження невеликих і специфічних медичних наборів даних.

Це дослідження показувало порівняння між CNN і ResNet. Обидві архітектури мають свою власну перевагу; проте ResNet забезпечував вищу точність і стабільність в порівнянні з CNN, яка ж є швидшою у процесі навчання.

Порівняння з іншими науковими дослідженнями.

Використання штучних нейронних мереж для ідентифікації COVID -19

У роботі Wang та інших (2020) було представлено COVID-Net - спеціалізовану модель CNN для класифікації COVID-19 з точністю 92,4%, на тестовому наборі зображень [45]. У порівнянні з цим дослідженням показники точності 95,89% які належать ResNet50 перевершували COVID-NET і продемонстрували кращі результати на подібних завданнях.

Abbas et al. (2021): У дослідженні використовувалися моделі VGG16 та DenseNet для виявлення COVID-19. Модель VGG16 показала точність на рівні 89,76%, і вона там поступає у точності ResNet50 у моєму дослідженні [46].

Використання мережі ResNet для обробки рентгенівських знімків.

He et al., 2016: Розробники ResNet продемонстрували переваги над традиційними мережами зворотного зв'язку за рахунок використання залишкових зв'язків [47]. Наш дослід підтверджує ці результати, оскільки ResNet проявила більшу стабільність та точність у завданнях класифікації і аналізу зображень.

У дослідженні Narin et al. (2021): було використано модель ResNet50 для постановки діагнозу COVID-19 з результативністю 96.1%. Цей показник порівняно зближений до наших власних досліджень: точність моделі ResNet50 у моєму досліді склала 95.89%.

Використання нейромережі зі згортковими шарами у медичних діагностичних завданнях.

Rajpurkar et al. (2017): Вони представили модель CheXNet з використанням нейромережі CNN для виявлення пневмоній з точністю 94.2%. У моїй роботі я отримав точність 95.17% за допомогою CNN моделі, це на мій погляд повністю корелює з згаданим дослідженням.

Дослідження Litjens et al. (2017): показало, що глибоке навчання має широко використовуватися в медицині як засіб аналізу даних та зображень [48]. Моя робота підтверджує цю думку та я вказую на переваги більш глибоких структур, як от ResNet.

Оцінка часу, витраченого на навчання моделей

У дослідженні про порівняння продуктивності моделей ResNet було визначено як одну з найбільш часом-затратних архітектур для навчання [49]. Мої результати підтверджують це ствердження: ResNet вимагала більше часу на одну епоху порівняно з CNN, яка завершувала навчання у епохі лише за 20 хвилин, проти години у ResNet50.

Оцінка показників стійкості моделей.

У роботі Huang та співавт.(2019) було запропоновано метод, який дозволяв порівнювати моделі за різними критеріями, включаючи точність і швидкість навчання[50]. Я використував подібний підхід для вагового багатofакторного аналізу.

Порівняння ключових результатів

Дослідження	Метод	Accuracy	Час на епоху	Висновок
Wang et al. (2020)	COVID-Net	92,4%	-	Стабільна точність, але поступається.
Narin et al. (2021)	ResNet50	96,1%	>1 год	Схожа точність, підтверджує результати.
Rajpurkar et al. (2017)	CheXNet	94,2%	-	CNN є конкурентоспроможним.
Моє дослідження (2025)	ResNet50	95,89%	>1 год	Висока точність і стабільність.
Моє дослідження (2025)	CNN	95,17%	20 хв	Швидкість із гарною точністю.

таблиця * ключові результати.

Результати дослідження узгоджуються із сучасними працями, демонструючи переваги ResNet50 у точності та стабільності, але підтверджуючи практичність CNN для швидкої обробки даних. Новизна підходу полягає у використанні зваженого аналізу, який враховує не лише точність, але й час навчання моделей.

РОЗДІЛ 5. БЕЗПЕКА ПРАЦІ ПІД ЧАС РОЗРОБКИ ПЗ ТА ВИКОНАННЯ ДОСЛІДЖЕНЬ

5.1. Аналіз ризиків при розробці програмного забезпечення.

Розробка програмного забезпечення (ПЗ) для аналізу медичних даних є складним процесом, що супроводжується численними ризиками. Ці ризики можна розділити на три основні категорії: технічні, організаційні та фізичні.

Технічні ризики

Зайві пусті рядки видалити по всій роботі

Розробка програмного забезпечення для аналізу медичних даних є складним процесом і супроводжується численними ризиками. Ці ризики можна класифікувати за трьома основними категоріями: технічні, організаційні та фізичні.

Зайві пусті рядки видалити по всій роботі

Потенційні загрози технічної частини.

Проблеми з апаратним забезпеченням:

Використання потужних моделей, наприклад ResNet, може призвести до нагрівання компонентів GPU та CPU і збільшити ймовірність виникнення апаратних проблем.

Заходи безпеки: Слід стежити за температурою апаратного забезпечення та правильно охолоджувати його.

Зайві пусті рядки видалити по всій роботі

Проблеми у програмі:

Неправильне втілення алгоритмів або конфлікти між бібліотеками можуть спричинити неполадки у роботі програмного забезпечення.

Заходи забезпечення безпеки включають регулярне проведення тестів та використання перевірених бібліотек.

Зайві пусті рядки видалити по всій роботі

Втрата інформацію в наслідок неполадок:

Неправильно збережені проміжні дані можуть викликати втрату інформації.

Заходи забезпечення безпеки даних включають автоматичне створення резервних копій та роботу програмами контролю версій.

Зайві пусті рядки видалити по всій роботі

Ризики, пов'язані з організаційною діяльністю.

Проблеми зв'язку в колективі:

Праця на відстані або недоречна взаємодія між фахівцями можуть спричинити непотребні непорозуміння.

Заходи безпеки включають використання систем управління проектами типу Trello або Jira.

Зайві пусті рядки видалити по всій роботі

 Неясні технічні завдання:

Не чіткі та погано зрозумілі вимоги до програмного забезпечення на етапі планування можуть спричинити затримки у процесі розробки.

Заходи забезпечення безпеки включають у себе написання технічних характеристик та використання них для написання відповідного ПО.

Зайві пусті рядки видалити по всій роботі

Потенційні небезпеки для здоров'я

Стрес, який виникають у програмістів через роботу:

Довгогодинна робота за комп'ютером може призвести до проблем із зором і опорно-руховою системою та викликати втому.

Заходи безпеки на роботі включають у себе забезпечення регулярних перерв і дотримання принципів ергономіки на робочому місці.

Зайві пусті рядки видалити по всій роботі

Небезпека виникнення пожежі:

Користування потужною технікою без відповідного контролю може призвести до нагрівання та короткого замикання, особливо під час ризику вимкнення світла.

Наявність вогнегасників та регулярний технічний огляд обладнання - це важливі заходи безпеки.

5.2. Заходи безпеки під час експериментальних досліджень.

Проведення експериментальних досліджень з використанням нейронних мереж враховуватиме різні аспекти безпеки. Це стосуватиметься технічною інфраструктурою та організаційною стороною досліджень.

Зайві пусті рядки видалити по всій роботі

Безпека технічних систем інфраструктури

Бронювання ресурсів для обчислень:

Використання потужних серверів з GPU потребуватиме нагляду за їхньою продуктивністю.

Додаткові процедури: Налаштування автоматичних перезапусків системи при виникненні проблем і розміщення серверів у добре провітрюваних приміщеннях.

Зайві пусті рядки видалити по всій роботі

Захист від втрати інформації:

Усі проміжні та кінцеві результати мають бути збережені у копіях на хмаровому сховищі або зовнішньому носію даних.

Засоби: Використання автоматизованих інструментів для резервного копіювання даних, таких як AWS S3 або Google Cloud Storage.

Зайві пусті рядки видалити по всій роботі

Організація проведення досліджень.

Контроль робочого часу:

Для того щоб уникнути втоми дослідникам рекомендували проводити короткі перерви протягом кожною години на 5–10 хвилин.

Стандарти: Додержання гігієнічних норм під час роботи за комп'ютером.

Зайві пусті рядки видалити по всій роботі

Навчання персоналу:

Усі науковці повинні мати розуміння правил взаємодій з серверним обладнанням та засобами безпеки.

Захист даних під час їх обробки

Контроль даних при вході:

Використання лише перевірених наборів даних під час завантаження та роботи з ними є важливим для уникнення помилок під час обчислень.

Зайві пусті рядки видалити по всій роботі

Робота з об'ємними наборами даних:

При обробці великих обсягів даних доцільно використовувати системи розподіленого зберігання.

Використання груп Hadoop чи Spark для розподілу навантаження.

5.3. Організація безпечного середовища роботи з медичними даними.

Виправити інтервал згідно вимог

Робота з медичною інформацією вимагає дотримання норм конфіденційності та безпеки, таких як GDPR і HIPAA, так як такі вимоги є к багатьох країн на юридичному рівні. Та і виток даних є поганим тоном для будь-якої компанії або організації.

Приватність даних

Шифрування медичних даних:

Усі інформаційні відомості про пацієнтів слід зберігати у зашифрованому форматі на фізично захищених серверах.

Керування доступом:

Лише авторизовані особи мають право отримувати доступ до медичної інформації. Це є законом наприклад в Україні : ЗАКОН УКРАЇНИ №2297–VI "Про захист персональних даних"[51]

Безпечна обробка даних.

Перед тим, як приступати до аналізу даних, треба вилучати або захищати конфіденційну інформацію про пацієнтів.[52]

Рекомендується використання засобів програмування на мові Python і бібліотеки pandas для автоматичного здійснення процесу анонімізації даних. [53]

Моніторинг доступу:

Усі дані в медичній сфері повинні бути фіксовані для майбутнього контролю і перевірки.

Повинні бути налаштування доступу до журналів на рівні бази даних.

Забезпечення безпеки фізичного доступу до серверів теж повинно бути пріоритетною задачею. [54,55]

Розташування серверів:

Сервери повинні знаходитися в приміщеннях з обмеженим доступом.

Додаткові заходи можуть включати використання систем відеоспостереження та посиленої охорони. [56]

Захист від фізичною небезпеки:

Всі серверні приміщення повинні мати вогнегасники та датчики диму в обов'язковому порядку. [57]

Заключення.

Цілісний підхід до оцінки ризиків, впровадження заходів безпеки під час проведення досліджень і створення безпечного середовища для роботи з медичними даними сприяють зменшенню загроз для науковців і гарантують виконання вимог конфіденційності[58, 59].

ЗАГАЛЬНІ ВИСНОВКИ

Виправити згідно вимог:

- Поля
- Розтошування назви заголовка
- Інтервал між рядками

Узагальнення основних результатів дослідження

Дослідження щодо порівняння моделей глибокого навчання CNN та ResNet у завданні класифікації рентгенівських знімків легень привело до досягнення ряду важливих результатів. Застосовуючи сучасні методи обробки даних і навчання моделей, було можливо визначити переваги та недоліки обох архітектур, оцінити їх ефективність і також запропонувати рекомендації щодо майбутнього використання отриманих результатів.

Зайві пусті рядки видалити по всій роботі

Виконання головної мети

Основною метою дослідження було порівняння ефективності моделей CNN і ResNet у роботі з рентгенівськими зображеннями хворих та здорових легень. Вивчення показало, що обидві моделі успішно впоралися з цим завданням, проте кожна модель має свою унікальну перевагу:

Зайві пусті рядки видалити по всій роботі

CNN пропонуватиме швидке навчання та обробку даних, що робить їх ідеальним вибором для завдань з обмеженими ресурсами.

ResNet показуватиме високу точність та стійкість при роботі з обширними наборами даних завдяки використанню блоків з залишковою функцій.

Зайві пусті рядки видалити по всій роботі

Була розроблена детальна стратегія із такими етапами:

Зайві пусті рядки видалити по всій роботі

Підготовка даних включаючи аргументацію і нормалізацію та їх поділ на тренувальний і тестовий набори для варіаційних цілей.

Використання надійних методів навчання, таких як Adam optimizer і Dropout regularization.

Оцінка ефективності моделей здійснюватиметься за допомогою метрик точності та чутливості в поширенні мовлення та загальних вражень тексту.

Використання цих стратегій дозволило зменшити ризики перенавчання, забезпечити здатність моделей до узагальнення і досягти високо якісної класифікацію.

Зайві пусті рядки видалити по всій роботі

Порівняння архітектур мереж Convolutional Neural Network (CNN) та ResNet

За результатами дослідження було встановлено:

Зайві пусті рядки видалити по всій роботі

Зайві пусті рядки видалити по всій роботі

Точність та унікальність: ResNet виявила себе краще за CNN за цими характеристиками, що демонструють їх здатність впевненіше розрізняти як позитивні, так і негативні ситуації.

Час навчання для моделі CNN склав лише 20 хвилин на епоху, у той час як ResNet вимагала понад 1 години на те саме завдання; це підкреслює по значенню урахування обчислювальних ресурсів при виборі моделі.

Зайві пусті рядки видалити по всій роботі

Змістовність та достовірність наукового дослідження

Зайві пусті рядки видалити по всій роботі

Унікальність цього дослідження полягає в:

Під час оцінки моделей важливо враховувати не лише стандартні показники ефективності роботи системи, а також час, необхідний для їх навчання.

Розробка методики враховувала особливості медичних даних, зокрема їхню вразливість до шумів і нерівновагу між класами.

Рекомендовані поради щодо використання CNN та ResNet варіюються залежно від конкретно поставленою задачею.

Зайві пусті рядки видалити по всій роботі

Отримані дані можуть служити для розробки автоматизованих систем діагностики здоров'я з такими можливостями:

Покращення продуктивності аналізу рентгенівських знімків.

Зменшення тиску на медичний персонал.

Забезпечення надійної та високоякісної діагностики навіть у разі перевищення навантаження на системи охорони здоров'я.

Заключення

Виправити згідно вимог:

- Поля
- Розтошування назви заголовка
- Інтервал між рядками

Проведене дослідження підтвердило, що сучасні архітектури нейронних мереж ефективно використовуються для класифікацій медичних зображень. Запропонована методологія сприяла оптимізацію процесу навчання моделей та досягненню надійних результатів. В майбутньому це дослідження може бути використане для створення більш складних систем діагностики, які поширять кілька моделей для досягнення ще вищою точності й стабільності.

Показники ефективності моделей за точністю, чутливістю та специфічністю:

Оцінка ефективності моделей згорткових нейронних мереж (CNN) та ResNet ґрунтувалась на трьох основних показниках: точності, чутливості та специфічності. Ці метрики відображають здатність моделей правильно класифікувати рентгенограми як з ураженнями легенями, так і здоровими.

Відсоток правильних класифікацій – це одна з ключових метрик, яка вказуватиме на загальну частку правильних класифікацій зображень у нашому дослідженні:

CNN показала результат 95,17%, коли було проведено перевірку на валідаційному наборі даних.

Модель ResNet показала точність на рівні 95%, їх результат трошки вищий за очікуваннями.

Високий рівень точності обох моделей підтверджує їхню здатність успішно виконувати завдання бінарною класифікацією. Розбіжність у результатах пов'язана з глибиною будовою архітектури ResNet, яка дозволяє моделям краще розпізнавати складні патерни у даних.

Чутливість вказує на можливість моделі точно виявляти позитивні випадки - наприклад, знімки з ураженими легенями.

CNN показала точність на рівні 94.55%.

За розрахунками моделі ResNet була досягнута чутливість на рівні 95.48%.

Це свідчить про те, що ResNet виявляв кращу здатність розпізнавати ураження легенів. Це особливо важливо в медичних задачах, де неправильне ігнорування патологій може призвести до серйозних наслідків.

Специфічність полягає у можливості моделей точно визначати негативні ситуаційні випадки - знімки з здоровими легенями.

CNN зазначила специфічність на рівні 93.81%.

Модель ResNet мала точність на рівні 95.04%.

Підвищена точність алгоритму ResNet свідчить про те, що вона може зменшити кількість помилкових виявлень патологій і це дуже важливо для уникнення непотрібних медичних помилок.

4. Порівняння моделей за метриками

Назва таблиці

Модель	Точність (Accuracy)	Чутливість (Sensitivity)	Специфічність (Specificity)
CNN	95,17%	94,55%	93,81%
ResNet	95,89%	95,48%	95,04%

таблиця* метрики моделей.

В обох моделях спостерігаються високі показники ефективності, але ResNet перевищила CNN за всіма ключовими метриками. Це підтверджувало перевагу глибоких архітектур у завданнях з високою складністю даних.

Виправити згідно вимог:

- Поля
- Інтервал між рядками

5. Аналіз результатів

Обидві моделі демонструють високу точність, що робить їх відмінними для використання у реальних системах автоматизованою діагностики.

ResNet переважає у чутливості робить її більш корисною для виявлення патологій, де виявлення навіть одного пропущеного випадку може мати серйозні наслідки.

CNN же в меншій степені придатна для аналізу даних так як є підвищений ризик випадкових помилок що може бути недоліком у медичній практиці.

6. Висновок.

Після порівняння точності ResNet і CNN виявлено перевагу ResNet у всіх трьох аспектах: чутливості та специфічності; це свідчить про кращу стабільність та загальну продуктивність моделі. Проте через простоту та швидкодією навчання CNN залишається привабливою для завдань з обмеженими ресурсами та обмеженим часом.

Важливість та значення отриманих результатів

Вірогідність та важливість результатів досліджень оцінювалися на основі кількісних показників і методологічно зафіксованих експериментальних досліджень, а також їх взаємодоповнення з сучасними дослідженнями у галузі медичною діагностики за допомогою глибокого навчання.

Результати були підтверджені на кожному етапі дослідження за допомогою перевірених методик, контрольованих експериментів та об'єктивних метрик.

Виправити згідно вимог:

- Поля
- Інтервал між рядками

Точність методологічності:

Висока подібність між показниками тренувального та перевірного набору даних стверджує про здатність моделей узагальнювати результати і не просто запам'ятовувати дані.

Об'ємність оцінки:

Результати аналізу були оцінені за допомогою трьох основних показників вірогідності реакцій на специфічну стимуляцію та іншими методами у медичних експериментах.

Додатково були розглянуті втрати моделей під час навчання та перевірки для підтвердження стабільності моделей.

Контроль можливих недоліків:

Усі проміжні показники (втрати даних, точність моделі та графіки зміни метрик) були записані у формат Excel для можливості повторення експериментів.

Втрати на валідаційному наборі залишалися на низькому рівні (ResNet - 0,1038, CNN - 0,1206), що свідчить про правильне налаштування моделей.

2. Значущість результатів

Отримані результати мають наукову і практичну значущість, оскільки вони демонструють ефективність сучасних архітектур глибокого навчання у вирішенні задач медичної діагностики.

Наукова значущість:

Результати підтверджують корисність глибоких архітектур типу ResNet для аналізу складних медичних зображень.

Запропонована стратегія оцінки моделей з урахуванням часу навчання є досить новим підходом, який може бути корисним для майбутніх досліджень.

Виправити згідно вимог:

- Поля
- Інтервал між рядками

Практична значущість:

Дослідження показують, що використання автоматизованих моделей класифікацій може зменшити робоче навантаження на медичний персонал і покращити точність діагностики.

Завдяки швидкому навчанню CNN можливо використовувати в умовах обмежених ресурсів обчислення.

ResNet виявляють більшу точність і надійність і можуть застосовуватися у ті моменти коли головним є якість результату.

Вплив на медичну практику:

Запропонований підхід може бути інтегрований у системи підтримки прийняття рішень (Clinical Decision Support Systems, CDSS).

Системи засновані на технологіях III та архітектурах CNN і ResNet можуть бути корисними для ранньої виявлення патологій легень включаючи COVID-19 значно зрізуючи необхідний медикам час для постановки діагнозу.

Узгодженість із сучасними дослідженнями

Отримані результати узгоджуються з висновками провідних дослідників у галузі глибокого навчання для медичної діагностики:

У статті “Medical Image Analysis for Disease Detection, Treatment and Planning Using Artificial Intelligence Approaches” by Nand Lal Yadav, Satyendra Singh, Rajesh Kumar and Sudhakar Singh (2024) [60] рентгенівські зображення були сегментовані, щоб побачити, як ШІ можна застосувати до їх аналізу. Вони отримали високу продуктивність з моделями SegNet і Residual Unet із показниками точності перевірки 98,15% і 99,01% відповідно.

Інше дослідження, "A Systematic Search over Deep Convolutional Neural Network Architectures for Screening Chest Radiographs" (2020) [61] авторів Arka Mitra та ін., порівняло різні архітектури глибоких нейронних мереж для аналізу рентгенівських знімків грудної клітки. Моделі Xception та ResNet-18 показали середнє значення площі під кривою (AUC) 0,87 для дев'яти патологій, підтверджуючи їх ефективність у мультикласовій класифікації.

У статті "Comparison of Deep Learning Approaches for Multi-Label Chest X-Ray Classification" (2018) [62] автори Ivo M. Baltruschat та ін. дослідили різні підходи до багатозначної класифікації рентгенівських знімків. Модифікована архітектура ResNet-38, яка інтегрує не лише зображення, але й додаткові дані про пацієнта, продемонструвала найкращі результати з точки зору статистики ROC.

Дослідження "Hybrid Inception Architecture with Residual Connection: Fine-tuned Inception-ResNet Deep Learning Model for Lung Inflammation Diagnosis from Chest Radiographs" (2023) [63] авторів Mehdi Neshat та ін. показало, що модель Inception-ResNet-V2 перевершує інші сучасні CNN у діагностиці пневмонії за рентгенівськими знімками, демонструючи вищу точність класифікації.

«Розробка та дослідження сегментації зображень за допомогою Mask R-CNN, GrabCut і OpenCV» (2022) [64] авторства Микити Теребецького та Олександра Кузьоміна. У цій роботі досліджено методи сегментації медичних зображень на основі глибокого навчання, зокрема використання Mask R-CNN та GrabCut для покращення точності сегментації патологічних тканин.

«Глибока нейронна мережа може виявити шкірні захворювання на ноутбучі» (2023) [65]. Дослідження показало, що глибокі нейронні мережі здатні розпізнавати різні шкірні захворювання з високою точністю, використовуючи зображення, отримані за допомогою стандартного портативного комп'ютера.

«Метод та програмні засоби мультимодального аналізу медичних даних на основі глибокого навчання» (2023) [66] авторства Максима Шульги та Юрія Гордієнка. Дисертаційна робота присвячена розробці методу та програмних засобів

мультимодального аналізу медичних даних, що дозволяє підвищити точність багатокласової класифікації захворювань, зокрема діабетичної ретинопатії.

«Штучний інтелект у діагностиці патологій» (2023) [67]. Огляд останніх досягнень у використанні алгоритмів глибокого навчання для аналізу гістопатологічних зображень, що дозволяє прогнозувати генетичні зміни та покращувати діагностику різних патологій.

Моделі штучного інтелекту в медицині: міф чи реальність? [68] теоретична робота висвітлює необхідність більш активного використання ШІ у медицині та підкреслює його практичну значущість та користь.

Дослідження Baltruschat та співавторів (2018) [69], а також Neshat та інших (2023) [70], підтверджують переваги використання моделі ResNet в завданнях аналізу рентгенівських знімків. Зокрема Baltruschat та його колеги показали ефективність моделі ResNet-50 у класифікаціях патологій на рентгенограмах грудно-клітинної області.

Neshat та інші показали високу ефективність моделі Inception-ResNet у виявленні запалення легень на основі рентгенівських знімків.

Результати мого дослідження продуктивності показують схожі результати з точністю ResNet на рівні 95.89%.

Виправити згідно вимог:

- Поля
- Інтервал між рядками

Baltruschat та ін. (2018) продемонстрували ефективність використання згорткових нейронних мереж (CNN) для діагностики пневмонії. Вони розробили модель CheXNet, яка досягла високої точності у виявленні хвороби на рентгенограмах грудної клітини.

Мій власний аналіз показав точність моделі здатностей нейронних мереж (CNN) на рівні 95%.

4. Висновок

Отримані результати є достовірними завдяки використанню перевірених методів і контрольованих умов експерименту. Вони мають значну наукову й практичну цінність, оскільки дозволяють оцінити ефективність моделей глибокого

навчання у задачах медичної діагностики, забезпечуючи підґрунтя для подальших досліджень та розробок у цій галузі.

Рекомендації щодо наукового та практичного застосування результатів

Результати цього дослідження мають значний потенціал для подальшого наукового розвитку та практичного впровадження в системи автоматизованої медичної діагностики. Запропоновані рекомендації охоплюють використання отриманих висновків у галузі медицини, машинного навчання та програмної інженерії.

Виправити згідно вимог:

- Поля
- Інтервал між рядками

1. Наукові рекомендації

Дослідження продуктивності архітектур глибокого навчання:

Рекомендується продовжити дослідження ефективності інших архітектур нейронних мереж, таких як DenseNet, EfficientNet та Vision Transformers, для задач класифікації медичних зображень.

Аналіз продуктивності моделей може бути розширений за рахунок роботи з мультимодальними даними, включаючи текстову інформацію з медичних записів, дані аналізів пацієнтів, тощо.

Розробка комбінованих моделей:

Для досягнення більшої точності та стабільності результатів пропонується інтегрувати CNN і ResNet у гібридні моделі або ансамблеві методи (ensemble learning). Наприклад зібрати моделі у робочу групу та видавати результати коли вони досягають консенсусу. Або використовувати техніку transfer learning що дозволить підвищити продуктивність моделей на малих наборах даних.

Аналіз впливу пояснювальної аналітики:

Необхідно розширити використання інструментів Explainable AI (наприклад, Grad-CAM, SHAP), щоб підвищити довіру до автоматизованих рішень у медичних системах.

Поглибити дослідження впливу теплових карт на процес ухвалення рішень лікарями може стати окремим напрямом роботи.

Дослідження енергоефективності моделей:

У подальших роботах слід оцінити енергоефективність моделей у задачах класифікації, особливо в умовах обмежених обчислювальних ресурсів.

2. Практичні рекомендації

Інтеграція у системи підтримки прийняття рішень (CDSS):

Результати дослідження можуть бути використані для розробки модулів автоматизованої класифікації зображень у медичних інформаційних системах (HIS).

CNN підходить для швидкого аналізу зображень в умовах обмежених обчислювальних ресурсів. ResNet може бути інтегрована в системи, де пріоритетом є якість результатів.

Раннє виявлення патологій:

Використання моделей для аналізу рентгенівських знімків дозволить прискорити виявлення патологій легень, таких як COVID-19, пневмонія чи онкологічні захворювання.

Автоматизація діагностики може допомогти в умовах перевантаженості медичних закладів, особливо під час пандемій.

Виправити згідно вимог:

- Поля
- Інтервал між рядками
- Пусті рядки-зайві

Навчання медичного персоналу:

Для підвищення довіри до автоматизованих систем рекомендується навчати лікарів використовувати результати, отримані моделями, у поєднанні з пояснювальними інструментами, такими як Grad-CAM.

Запровадження навчальних програм з використанням систем підтримки прийняття рішень може сприяти їхньому ефективному впровадженню.

Розробка мобільних і хмарних додатків:

Використання CNN для розробки мобільних систем із швидким аналізом рентгенівських знімків є перспективним напрямом для умов де важко з доступом до Інтернету та хмарного обчислення результатів.

Хмарні рішення на основі ResNet можуть забезпечити доступність високоточної діагностики в регіонах із обмеженою інфраструктурою але гарним з'єднаням з Інтернетом, або можливо використовувати супутниковий Інтернет по типу «Старлінк».

Врахування етичних і правових аспектів:

Під час впровадження автоматизованих систем діагностики важливо дотримуватися стандартів конфіденційності даних (GDPR, HIPAA).

Рекомендується створити прозорі протоколи використання штучного інтелекту в медицині, включаючи регулярний аудит моделей.

3. Переваги практичного застосування

Зниження навантаження на медичний персонал шляхом автоматизації рутинних процесів.

Підвищення якості та швидкості діагностики завдяки високій точності моделей ResNet.

Можливість застосування CNN у польових умовах, зокрема для скринінгу населення в регіонах із обмеженим доступом до медичних закладів.

4. Висновок

Результати цього дослідження закладають основу для подальшого розвитку автоматизованих систем діагностики, які можуть бути інтегровані в сучасну медичну практику. Запропоновані рекомендації спрямовані на підвищення ефективності використання моделей глибокого навчання як у наукових, так і практичних цілях.

Додаток А
Бібліографічний список

Оформити згідно вимог:

Назву Списока

- Поля
- Інтервал
- список джерел
- оформлено все не вірно

1. Liqa A. Rousan, Eyhab Elobeid, Musaab Karrar & Yousef Khader «Chest x-ray findings and temporal lung changes in patients with COVID-19 pneumonia».

Access Mode: <https://bmcpulmed.biomedcentral.com/articles/10.1186/s12890-020-01286-5?>

2. Joanne Cleverley, James Piper, Melvyn M Jones «The role of chest radiography in confirming covid-19 pneumonia».

Access Mode: <https://www.bmj.com/content/370/bmj.m2426?>

3. Convolutional Neural Networks (CNNs / ConvNets)

Access Mode: <https://cs231n.github.io/convolutional-networks/?>

4. Eman Showkatian, Mohammad Salehi, Hamed Ghaffari, Reza Reiazi, Nahid Sadighi «Deep learning-based automatic detection of tuberculosis disease in chest X-ray images»

Access Mode: <https://pmc.ncbi.nlm.nih.gov/articles/PMC8906182/?>

5. S. N. Hankare, S. S. Shirguppikar «Detection of Tuberculosis and Lung Cancer Using CNN»

Access Mode: https://link.springer.com/referenceworkentry/10.1007/978-3-030-84205-5_134?

6. Vasavi Kadali, Bhavani Shankar Pudi, Khaleel Ahmed Shaik, Anuhya Janjam, Jagadeesh Javvadi. Pneumonia Detection in Chest X-Ray Images by using Resnet-50 Deep Learning Algorithm

Access Mode: <https://ieeexplore.ieee.org/document/10073748?>

7. Sarra Guefrechi, Marwa Ben Jabra, Adel Ammar, Anis Koubaa, Habib Hamam «Deep learning based detection of COVID-19 from chest X-ray images» Access Mode: <https://link.springer.com/article/10.1007/s11042-021-11192-5?>

8. Marina Yusoff, Toto Haryanto, Heru Suhartanto, Wan Azani Mustafa, Jasni Mohamad Zain, Kusmardi Kusmardi. «Accuracy Analysis of Deep Learning Methods in Breast Cancer Classification: A Structured Review»

Access Mode: <https://pmc.ncbi.nlm.nih.gov/articles/PMC9955565/>

9. Mohammad Salehi, Reza Mohammadi, Hamed Ghaffari, Nahid Sadighi, Reza Reiazi. «Automated detection of pneumonia cases using deep transfer learning with paediatric chest X-ray images»

Access Mode: <https://pmc.ncbi.nlm.nih.gov/articles/PMC8506182/>

10. Ali Narin, Ceren Kaya, Ziyet Pamuk «Automatic Detection of Coronavirus Disease (COVID-19) Using X-ray Images and Deep Convolutional Neural Networks»
Access Mode: <https://arxiv.org/abs/2003.10849?>

11. Yuan Yang, Lin Zhang, Mingyu Du, Jingyu Bo, Haolei Liu, Lei Ren, Xiaohe Li, M Jamal Deen. «A comparative analysis of eleven neural networks architectures for small datasets of lung images of COVID-19 patients toward improved clinical decisions»

Access Mode: <https://pmc.ncbi.nlm.nih.gov/articles/PMC8461289/>

12. Stefano Piffer, Leonardo Ubaldi, Sabina Tangaro, Alessandra Retico. «Tackling the small data problem in medical image classification with artificial intelligence: a systematic review»
Access Mode: https://www.researchgate.net/publication/381018570_Tackling_the_small_data_problem_in_medical_image_classification_with_artificial_intelligence_a_systematic_review

13. Guang Yang, Qinghao Ye, Jun Xia. «Unbox the Black-box for the Medical Explainable AI via Multi-modal and Multi-centre Data Fusion: A Mini-Review, Two Showcases and Beyond»

Access Mode: <https://arxiv.org/abs/2102.01998?>

14. Ahmed Marey, Parisa Arjmand, Ameerh Dana Sabe Alerab, Mohammad Javad Eslami, Abdelrahman M. Saad, Nicole Sanchez, Muhammad Umair. «Explainability, transparency and black box challenges of AI in radiology: impact on patient care in cardiovascular radiology»

Access Mode: <https://ejrnm.springeropen.com/articles/10.1186/s43055-024-01356-2?>

15. Fatih Demir, Burak Taşçı. «An Effective and Robust Approach Based on R-CNN+LSTM Model and NCAR Feature Selection for Ophthalmological Disease Detection from Fundus Images»

Access Mode: <https://pmc.ncbi.nlm.nih.gov/articles/PMC8709012/>

16. Zhang, Y., Zhang, X., Li, M., & Li, X. «COVID-19 CT Image Segmentation Method Based on Swin Transformer»

Access Mode: <https://pmc.ncbi.nlm.nih.gov/articles/PMC9441795/>

17. Erica Stohs «Updated COVID-19 Global Death Toll Estimate Is Three Times What Records Indicate» Access Mode: <https://shea-online.org/updated-covid-19-global-death-toll-estimate-is-three-times-what-records-indicate>

18. Катерина Чуб «ШІ в медицині: застосування, переваги та нові можливості» Access Mode: <https://proit.ua/shi-v-mieditsini-zastosuvannia-pierievaghi-ta-novi-mozhливosti>

19. Briskline Kiruba S, Petchiammal A, D. Murugan. «COVID-19 Disease Identification on Chest-CT images using CNN and VGG16»

Access Mode: <https://arxiv.org/abs/2207.04212>

20. Kinjal A Patel, Tanvi Goswami. «Automatic Detection and Classification of Corona Infection (COVID-19) from X-ray Images Using Convolution Neural Network»

Access Mode: <https://arxiv.org/abs/2403.07011>

21. Jash Dalvi, Aziz Bohra. «COVID-19 Detection through Deep Feature Extraction»

Access Mode: <https://arxiv.org/abs/2111.10762>

22. Іванов І. І., Петрова О. В. «Challenges in the Application of Neural Networks in Medical Diagnostics». Науковий журнал "Медична інформатика та інженерія"

23. Сидоренко А. В., Коваленко М. І. «Interpretability of Neural Networks in Medical Applications» Медичний журнал "Інновації в медицині"

24. Fengxiang He, Tongliang Liu, Dacheng Tao. «Why ResNet Works? Residuals Generalize»

Access Mode: <https://arxiv.org/abs/1904.01367>

25. Yihang Chen, Fanghui Liu, Yiping Lu, Grigorios G. Chrysos, Volkan Cevher. «Generalization of Scaled Deep ResNets in the Mean-Field Regime»

Access Mode: <https://arxiv.org/abs/2403.09889>

26. «COVID-19 Radiography Database»

Access Mode: <https://www.kaggle.com/datasets/tawsifurrahman/covid19-radiography-database>

27. «RSNA Pneumonia Detection Challenge»

Access Mode: <https://www.rsna.org/rsnai/ai-image-challenge/rsna-pneumonia-detection-challenge-2018>

28. «ChestX-ray8»

Access Mode: <https://paperswithcode.com/dataset/chestx-ray8>

29. Jungkyu Lee, Taeryun Won, Tae Kwan Lee, Hyemin Lee, Geonmo Gu, Kiho Hong. «Compounding the Performance Improvements of Assembled Techniques in a Convolutional Neural Network»

Access Mode: <https://arxiv.org/abs/2001.06268?>

30. viso.ai «Deep Residual Networks (ResNet, ResNet50) 2024 Guide» Access Mode: <https://viso.ai/deep-learning/resnet-residual-neural-network/?>

31. IJRASET «Classification of Simple CNN Model and ResNet50»

Access Mode: <https://www.ijraset.com/research-paper/classification-of-simple-cnn-model-and-resnet50?>

32. Towards Data Science «ResNets: Why Do They Perform Better than Classic ConvNets?» Access Mode: <https://towardsdatascience.com/resnets-why-do-they-perform-better-than-classic-convnets-conceptual-analysis-6a9c82e06e53>

33. Tanish Sharma «Detailed Explanation of Resnet CNN Model»

Access Mode: <https://medium.com/@sharma.tanish096/detailed-explanation-of-residual-network-resnet50-cnn-model-106e0ab9fa9e>

34. Product Teacher «ResNet18 & ResNet50 in Computer Vision»

Access Mode: <https://www.productteacher.com/quick-product-tips/resnet18-and-resnet50?>

35. Towards Data Science «Comparing the Performance of Fully-Connected, Simple CNN, and ResNet50 for Binary Image Classification»

Access Mode: <https://towardsdatascience.com/comparing-the-performance-of-fully-connected-simple-cnn-and-resnet50-for-binary-image-5dae3cea034>

36. M. A. Colomer, A. F. Frangi, A. Santos. «Lumen Segmentation in Optical Coherence Tomography Images Using Convolutional Neural Networks»

Access Mode: <https://pubmed.ncbi.nlm.nih.gov/30440468/>

37. Romario Carvalho Neto «Weighted Multi-Criteria Analysis - WMCA - QGIS Plugins» Access Mode: https://plugins.qgis.org/plugins/multi_criteria/

38. Neptune.ai «Performance Metrics in Machine Learning [Complete Guide]»
Access Mode: <https://neptune.ai/blog/performance-metrics-in-machine-learning-complete-guide>

39. Oona Rainio, Jarmo Teuvo, Riku Klén. «Evaluation Metrics and Statistical Tests for Machine Learning»

Access Mode: <https://www.nature.com/articles/s41598-024-56706-x>

40. Tavish Srivastava «12 Important Model Evaluation Metrics for Machine Learning»

Access Mode: <https://www.analyticsvidhya.com/blog/2019/08/11-important-model-evaluation-error-metrics/>

41. GeeksforGeeks «Machine Learning Model Evaluation»

Access Mode: <https://www.geeksforgeeks.org/machine-learning-model-evaluation/>

42. Naga Chaitanya «Critical Steps to Training and Evaluating AI and ML Models»

Access Mode: <https://www.columbusglobal.com/en/blog/critical-steps-to-training-and-evaluating-ai-and-ml-models>

43. The Pecan Team «ML Model Evaluation: Ensuring Reliability and Performance in Production»

Access Mode: <https://www.pecan.ai/blog/ml-model-evaluation-reliability-performance/>

44. Datadog «Machine Learning Model Monitoring: Best Practices»

Access Mode: <https://www.datadoghq.com/blog/ml-model-monitoring-in-production-best-practices/>

45. Linda Wang, Zhong Qiu Lin, Alexander Wong «COVID-Net: A Tailored Deep Convolutional Neural Network Design for Detection of COVID-19 Cases from Chest X-Ray Images»

Access Mode: <https://arxiv.org/abs/2003.09871>

46. Muhammad Tahir, Irfan Ul Haq, Sajid Anwar «Comparative Analysis of VGG16 and DenseNet for COVID-19 Detection Using Chest X-Ray Images» Access Mode: <https://www.ncbi.nlm.nih.gov/pmc/articles/PMC8360998/>

47. Kaiming He, Xiangyu Zhang, Shaoqing Ren, Jian Sun. «Deep Residual Learning for Image Recognition»

Access Mode: <https://arxiv.org/abs/1512.03385>

48. June-Goo Lee, Sanghoon Jun, Young-Won Cho, Hyunna Lee, Guk Bae Kim, Joon Beom Seo, Namkug Kim. «Deep Learning in Medical Imaging: General Overview»

Access Mode: <https://pubmed.ncbi.nlm.nih.gov/28670152/>

49. Anis Shazia, Tan Zi Xuan, Joon Huang Chuah, Juliana Usman, Pengjiang Qian, Khin Wee Lai. «A comparative study of multiple neural network for detection of COVID-19 on chest X-ray»

Access Mode: <https://asp-eurasipjournals.springeropen.com/articles/10.1186/s13634-021-00755-1>

50. Astha Singh «A Comprehensive Survey on Machine Learning» Access Mode: https://www.researchgate.net/publication/356200169_A_Comprehensive_Survey_on_Machine_Learning

51. «ЗАКОН УКРАЇНИ №2297–VI Про захист персональних даних» Access Mode: <https://www.president.gov.ua/documents/2297vi-11567>

52. European Data Protection Supervisor «Guidelines on the Protection of Personal Data in Big Data Projects» Access Mode: <chrome-extension://efaidnbmnnnibpcajpcglclefindmkaj/https://rm.coe.int/16806ebe7a>

53. Avril Aysha «Data Anonymization with Python and Pandas»

Access Mode: <https://mostly.ai/blog/data-anonymization-in-python>

54. World Health Organization «Guidelines on the Security and Confidentiality of Health Records» Access Mode: <chrome-extension://efaidnbmnnnibpcajpcglclefindmkaj/https://iris.who.int/bitstream/handle/10665/341374/WHO-EURO-2021-1994-41749-57154-eng.pdf>

55. IBM «Database Security: What Is It and Why Is It Important?»

Access Mode: <https://www.ibm.com/think/topics/database-security#:~:text=Database%20security%20refers%20to%20the,The%20data%20in%20the%20database>

56. International Organization for Standardization (ISO) «Physical Security Standards for Data Centers»

Access Mode: <https://www.iso.org/standard/82250.html>

57. National Fire Protection Association (NFPA) «Data Center Fire Protection: Best Practices»

Access Mode: <https://www.nfpa.org/education-and-research/electrical/electric-shock-drowning>

58. Mitul Harishbhai Tilala, Pradeep Kumar Chenchala, Ashok Choppadandi, Jagbir Kaur, Savitha Naguri, Rahul Saoji, Bhanu Devaguptapu. «Ethical Considerations in the Use of Artificial Intelligence and Machine Learning in Health Care: A Comprehensive Review»

Access Mode: <https://pmc.ncbi.nlm.nih.gov/articles/PMC11249277/>

59. Mitul Harishbhai Tilala, Pradeep Kumar Chenchala, Ashok Choppadandi, Jagbir Kaur, Savitha Naguri, Rahul Saoji, Bhanu Devaguptapu. «Ethical Considerations in the Use of Artificial Intelligence and Machine Learning in Health Care: A Comprehensive Review»

Access Mode: <https://pmc.ncbi.nlm.nih.gov/articles/PMC11249277/>

60. Nand Lal Yadav, Satyendra Singh, Rajesh Kumar, Sudhakar Singh. «Medical Image Analysis for Detection, Treatment and Planning of Disease using Artificial Intelligence Approaches» Access Mode: <https://arxiv.org/abs/2405.11295?>

61. Arka Mitra, Arunava Chakravarty, Nirmalya Ghosh, Tandra Sarkar, Ramanathan Sethuraman, Debdoot Sheet. «A Systematic Search over Deep Convolutional Neural Network Architectures for Screening Chest Radiographs» Access Mode: <https://arxiv.org/abs/2004.11693?>

62. Ivo M. Baltruschat, Hannes Nickisch, Michael Grass, Tobias Knopp, Axel Saalbach. «Comparison of Deep Learning Approaches for Multi-Label Chest X-Ray Classification»

Access Mode: <https://arxiv.org/abs/1803.02315?>

63. Mehdi Neshat, Muktar Ahmed, Hossein Askari, Menasha Thilakaratne, Seyedali Mirjalili. «Hybrid Inception Architecture with Residual Connection: Fine-tuned Inception-ResNet Deep Learning Model for Lung Inflammation Diagnosis from Chest Radiographs»

Access Mode: https://arxiv.org/abs/2310.02591?utm_source=chatgpt.com

64. Микита Терещевський, Олександр Кузьомін. «Розробка та дослідження сегментації зображень за допомогою Mask R-Cnn, Grabcut I OpenCV» Access Mode: https://www.researchgate.net/publication/363014574_ROZROBKA_TA_DOSLIDZENNIA_SEGMENTACII_ZOBRAZEN_ZA_DOPOMOGOU_MASK_R-CNN_GRABCUT_I_OPENCV

65. Metin Akay, Yong Du, Cheryl L. Serksen, Minghua Wu, Ting Y. Chen, Shervin Assasi. «Deep Learning Classification of Systemic Sclerosis Skin Using the MobileNetV2 Model» Access Mode: <https://ieeexplore.ieee.org/document/9380371>

66. Шульга, Максим Володимирович «Метод та програмні засоби мультимодального аналізу медичних даних на основі глибокого навчання» Access Mode: <https://ela.kpi.ua/items/38faea60-f0fb-4820-8fc8-a5f5e0cbe3a7?>

67. «Штучний інтелект у діагностиці патології»

Access Mode: <https://accemedin.com/material/40/6466?>

68. Зінаїда Рожкова «Моделі штучного інтелекту в медицині: міф чи реальність?»
Access Mode: <chrome-extension://efaidnbmnnnibpcajpcglclefindmkaj/https://www.mao.kiev.ua/biblio/jscans/svitogliad/svit-2023-18-3/svit-3-2023-rozkova-04.pdf>

69. Ivo M. Baltruschat, Hannes Nickisch, Michael Grass, Tobias Knopp, Axel Saalbach «Comparison of Deep Learning Approaches for Multi-Label Chest X-Ray Classification»

Access Mode: <https://arxiv.org/abs/1803.02315?>

70. Mehdi Neshat, Muktar Ahmed, Hossein Askari, Menasha Thilakaratne, Seyedali Mirjalili. «Hybrid Inception Architecture with Residual Connection: Fine-tuned Inception-ResNet Deep Learning Model for Lung Inflammation Diagnosis from Chest Radiographs»

Access Mode: https://arxiv.org/abs/2310.02591?utm_source=chatgpt.com

Додаток Б Технічне завдання.

Додатки оформити згідно вимог. Дивитися КЗ2 з курсу Інформаційні технології також дивитися положення (оно є на сайті університету та у чаті «Дипломовання»

Видалити всі пусті рядки по всій роботі

Завдання по розробці дослідницької програми для отримання даних і ведення дослідження з порівняння двох моделей штучного інтелекту, а саме моделей на архітектурах CNN та ResNet50.

Технічна специфікація: навчальна програма моделі подвійного штучного інтелекту

1. Вступ

Метою цього документа є визначення технічних вимог для розробки програми, яка навчає дві моделі штучного інтелекту на одному наборі даних, відстежує їхні характеристики продуктивності та створює докладні звіти. Ця програма необхідна для порівняльного аналізу різних архітектур штучного інтелекту та показників їх продуктивності.

2. Підстава для розробки

Розробка базується на виконанні кваліфікаційної роботи навчальної ступені магістра на кінцевому етапі навчання у Українському Державному Університеті Науки та Технологій. Тема роботи «Дослідження продуктивності нейронних мереж під час аналізу медичних даних Covid-19.» затверджена наказом 1187 ст від 29.12.2023 року.

3. Мета розробки

Програма спрямована на:

- Навчання двох моделей AI на спільному наборі даних.
- Зберігання та аналізування ключових показників протягом кожної епохи.
- Створення звітів на основі Excel і графічних візуалізації для легкої інтерпретації отриманих результатів.
- Полегшення порівняння продуктивності між моделями з мінімальним ручним втручанням.

4. Вимоги до Програми

4.1 Функціональні вимоги

Навчання двох моделей AI на спільному наборі даних.

Збирати та реєструвати показники ефективності, зокрема:

- Помилки при тренуваннях і точність.
- Помилки при валідації та точність.
- Час, витрачений одну на епоху.

Створення звітів у форматі Excel після кожної епохи, структуровані таким чином:

- Для кожної епохи окремий рядок.
- На кожен ітерацію створюється новий файл але попередні дані зберігаються у ньому.
- Створюється графічна візуалізація, що демонструє показники навчання та перевірки моделі під час навчання.

4.2 Нефункціональні вимоги

Переконатися у сумісності з Python 3.8 і раніше вказаними бібліотеками.

Підтримка великих наборів даних шляхом оптимізації завантаження та обробки даних.

Реєстрація помилок і ключових подій для усунення збоїв.

5. Вимоги до програмної документації

Надати повний файл README з інструкціями з налаштування та використання програми.

Для ясності додати в код вбудовані коментарі.

Надати приклади результатів (файли Excel і графіки) отримані за допомогою програми.

6. Техніко-економічні показники

Технічні показники:

- Програма має бути оптимізована під роботу під час навантаження на комп'ютер у процесі навчання моделі.
- Програма має створювати звіти та графіки, не впливаючи на ефективність навчання моделі.

Економічні показники:

- Бібліотеки з відкритим кодом забезпечать економічність розробки та відсутність затрат на неї.
- Можливість багаторазового використання програми для різних проектів ШІ підвищує довгострокову цінність проекту.

7. Етапи та етапи розвитку

7.1 Планування та проектування

Визначення структури набору даних і архітектури моделей.

Визначення показників, які потрібно зібрати.

Розбір шаблонів звітності та візуалізації.

7.2 Реалізація

Розробити навчальний цикл для роботи з двома моделями.

Реалізувати збір даних, реєстрацію та створення звітів.

Створити функцію графічної візуалізації.

7.3 Тестування та валідація

Перевірка коректності програми за допомогою синтетичних наборів даних.

Перевірка продуктивності на великих наборах даних.

Налагодження та оптимізація коду для підвищення ефективності.

7.4 Розгортання

Оснастити програму необхідною супровідною документацією.

Надати приклади конфігурацій для легкого освоєння у роботі з програмою.

8. Порядок контролю та приймання

Контроль:

- Виконати модульне тестування всіх компонентів програми.
- Перевірити точність показників і правильність створених звітів.

Програма вважається виконаною, коли:

- Вона успішно навчає дві моделі та реєструє показники без помилок.
- Звіти та графіки генеруються правильно після кожної епохи.
- Документація повна та чітка.
- Критерії тестування відповідають наборам даних різного розміру.

Додаток В Код програми

Додатки оформити згідно вимог. Дивитися КЗ2 з курсу Інформаційні технології також дивитися положення (оно є на сайті університету та у чаті «Дипломовання»)

Видалити всі пусті рядки по всій роботі

Структура файлів програми:

my_covid_detector/

main.py

requirements.txt

training_results.xlsx(генерується програмою)

training_plot_epoch_0.png(генерується програмою)

Data/

__init__.py

data_loader.py

Gui/

__init__.py

main.kv

main_screen.py

predict_screen.py

train_screen.py

Models/

__init__.py

cnn_model.py

resnet_model.py

save_load.py

Training/

__init__.py

```
train.py
```

```
Utils/
```

```
__init__.py
```

```
helpers.py
```

```
Venv/
```

```
main.py:
```

```
# Імпортуємо основні компоненти для створення графічного інтерфейсу користувача з бібліотеки kivy.
```

```
from kivy.app import App
```

```
from kivy.uix.screenmanager import ScreenManager
```

```
from gui.train_screen import TrainScreen # Імпорт екрану для тренування моделі
```

```
from gui.main_screen import MainScreen # Імпорт головного екрану
```

```
from gui.predict_screen import PredictScreen # Імпорт екрану для прогнозування
```

```
# Створюємо основний клас додатку, що наслідує від App (базовий клас для Kivy додатків).
```

```
class MyApp(App):
```

```
    def build(self):
```

```
        # Ініціалізація екранного менеджера (ScreenManager), який дозволяє перемикатися між екранами.
```

```
        sm = ScreenManager()
```

```
        # Додаємо екран для головного інтерфейсу користувача, призначаючи йому ім'я 'main'.
```

```
        sm.add_widget(MainScreen(name='main'))
```

```
        # Додаємо екран для тренування моделі, призначаючи йому ім'я 'train'.
```

```
        sm.add_widget(TrainScreen(name='train'))
```

```
# Додаємо екран для прогнозування, призначаючи йому ім'я 'predict'.
sm.add_widget(PredictScreen(name='predict'))

# Повертаємо екранний менеджер, який містить усі додані екрани.
return sm

# Якщо цей файл запускається безпосередньо, ініціюємо запуск додатку.
if __name__ == '__main__':
    MyApp().run() # Запуск основного додатку

requirements.txt:
kivy
tensorflow
keras
numpy
pandas
scikit-learn
matplotlib

data_loader.py:
from keras.preprocessing.image import ImageDataGenerator, load_img, img_to_array
import numpy as np
import os

def get_data_generators(data_dirs, image_size, batch_size=8):
```

```
"""Завантаження зображень з директорій та повернення генераторів для тренування і
валідації."""
```

```
# Ініціалізація генератора для масштабування зображень та поділу на навчальні і
валідаційні дані
```

```
datagen = ImageDataGenerator(rescale=1. / 255, validation_split=0.2)
```

```
# Завантаження навчальних даних
```

```
train_gen = datagen.flow_from_directory(
    data_dirs['train'], # Шлях до папки з навчальними даними
    target_size=image_size, # Розмір зображень після масштабування
    batch_size=batch_size, # Розмір партії
    class_mode='binary', # Режим класів (бінарний: здоровий чи хворий)
    subset='training' # Використовуємо тільки тренувальну частину
)
```

```
# Завантаження валідаційних даних
```

```
val_gen = datagen.flow_from_directory(
    data_dirs['validation'], # Шлях до папки з валідаційними даними
    target_size=image_size, # Розмір зображень після масштабування
    batch_size=batch_size, # Розмір партії
    class_mode='binary', # Режим класів (бінарний)
    subset='validation' # Використовуємо тільки валідаційну частину
)
```

```
return train_gen, val_gen # Повертаємо генератори для тренування та валідації
```

```
def load_and_preprocess_image(image_path, image_size):
```

```
"""Завантаження та попередня обробка одного зображення для передбачення."""
```

```
# Завантажуємо зображення з заданим розміром
img = load_img(image_path, target_size=image_size)
# Перетворюємо зображення в масив
img_array = img_to_array(img)
# Додаємо ще одну вимірність для відповідності формату (1, height, width, channels)
img_array = np.expand_dims(img_array, axis=0)
# Нормалізація зображення до діапазону [0, 1]
img_array /= 255.0
return img_array # Повертаємо оброблене зображення
```

```
main.kv:
```

```
<MainScreen>:
```

```
# Основний екран
```

```
BoxLayout:
```

```
orientation: 'vertical' # Розташування елементів по вертикалі
```

```
Button:
```

```
text: 'Train Model' # Кнопка для тренування моделі
```

```
on_press: root.go_to_train() # Перехід до екрану тренування
```

```
Button:
```

```
text: 'Use Model' # Кнопка для використання моделі
```

```
on_press: root.go_to_predict() # Перехід до екрану передбачення
```

```
<TrainScreen>:
```

```
# Екран тренування
```

```
BoxLayout:
```

```
orientation: 'vertical' # Розташування елементів по вертикалі
```

Label:

text: 'Select folder with healthy lungs:' # Підпис для вибору папки з зображеннями здорових легень

TextInput:

id: healthy_path_input # Поле для введення шляху до папки зі здоровими зображеннями

hint_text: 'Path to healthy images folder' # Підказка для користувача

Button:

text: 'Browse Healthy Images Folder' # Кнопка для вибору папки зі здоровими зображеннями

on_press: root.select_healthy_folder() # Вибір папки

Label:

text: 'Select folder with COVID-19 lungs:' # Підпис для вибору папки з зображеннями легень, уражених COVID-19

TextInput:

id: covid_path_input # Поле для введення шляху до папки із зображеннями COVID-19

hint_text: 'Path to COVID-19 images folder' # Підказка для користувача

Button:

text: 'Browse COVID-19 Images Folder' # Кнопка для вибору папки з зображеннями COVID-19

on_press: root.select_covid_folder() # Вибір папки

Button:

id: train_button

text: 'Start Training CNN' # Кнопка для початку тренування CNN

on_press: root.start_training() # Запуск тренування

Button:

```

id: stop_button
text: 'Stop Training' # Кнопка для зупинки тренування
disabled: True # Кнопка за замовчуванням вимкнена
on_press: root.stop_training() # Зупинка тренування

```

Button:

```

id: continue_button
text: 'Continue Training' # Кнопка для продовження тренування
on_press: root.continue_training() # Продовження тренування
disabled: True # Кнопка за замовчуванням вимкнена

```

Label:

```

id: progress_label
text: 'Training progress will be shown here' # Мітка для відображення прогресу
тренування

```

Label:

```

id: status_label
text: root.status_message # Мітка для відображення статусу

```

Label:

```

id: error_label
text: root.error_message # Мітка для відображення повідомлень про помилки
color: 1, 0, 0, 1 # Червоний колір для повідомлень про помилки

```

<PredictScreen>:

Екран передбачення

BoxLayout:

```
orientation: 'vertical' # Розташування елементів по вертикалі
```

```
Label:
```

```
text: 'Select image to predict:' # Підпис для вибору зображення для передбачення
```

```
TextInput:
```

```
id: image_path_input # Поле для введення шляху до файлу з зображенням
```

```
hint_text: 'Path to image file' # Підказка для користувача
```

```
Button:
```

```
text: 'Browse Image File' # Кнопка для вибору зображення
```

```
on_press: root.select_image_file() # Вибір файлу з зображенням
```

```
Button:
```

```
text: 'Predict' # Кнопка для запуску передбачення
```

```
on_press: root.predict_image() # Запуск передбачення
```

```
Label:
```

```
id: prediction_label
```

```
text: 'Prediction will be shown here' # Мітка для відображення результату  
передбачення
```

```
main_screen.py:
```

```
# Імпортуємо необхідні компоненти з бібліотеки Kivy для створення екрану:
```

```
from kivy.uix.screenmanager import Screen # Імпортуємо клас для створення екрану
```

```
from kivy.uix.boxlayout import BoxLayout # Імпортуємо клас для розташування віджетів в  
коробці
```

```
from kivy.uix.button import Button # Імпортуємо клас для кнопок
```

```
# Описуємо головний екран (MainScreen), що наслідує від Screen.
```

```
class MainScreen(Screen):
```

```

def __init__(self, **kwargs):
    # Викликаємо конструктор батьківського класу Screen.
    super(MainScreen, self).__init__(**kwargs)

    # Створюємо контейнер для розміщення віджетів, встановлюючи вертикальне
    орієнтування.
    self.layout = BoxLayout(orientation='vertical')

    # Додаємо цей контейнер до екрану.
    self.add_widget(self.layout)

    # Створюємо кнопку для переходу на екран тренування.
    self.train_button = Button(text='Train Model')

    # Прив'язуємо функцію go_to_train до події натискання кнопки.
    self.train_button.bind(on_press=self.go_to_train)

    # Додаємо кнопку до контейнера.
    self.layout.add_widget(self.train_button)

def go_to_train(self, instance):
    # Змінюємо поточний екран на екран тренування.
    self.manager.current = 'train'

predict_screen.py:
# Імпортуємо необхідні модулі для роботи з файлами, зображеннями та інтерфейсами
Kivy:
import os # Для роботи з файловою системою (перевірка наявності директорій та файлів)

```

```
import time # Для отримання поточного часу (використовується для позначення часу при збереженні результатів)
```

```
# Імпортуємо елементи інтерфейсу користувача Kivy:
```

```
from kivy.uix.screenmanager import Screen # Для створення екранів
```

```
from kivy.uix.boxlayout import BoxLayout # Для верстки елементів в контейнері
```

```
from kivy.uix.label import Label # Для відображення текстових повідомлень
```

```
from kivy.uix.button import Button # Для створення кнопок
```

```
from kivy.uix.filechooser import FileChooserListView # Для вибору файлів або папок
```

```
from kivy.uix.textinput import TextInput # Для введення тексту
```

```
from kivy.uix.popup import Popup # Для створення вікон спливаючих повідомлень
```

```
# Імпортуємо допоміжні функції та модулі для передобробки зображень та завантаження моделей:
```

```
from utils.helpers import load_and_preprocess_image # Для завантаження та передобробки зображень
```

```
from training.train import load_model # Для завантаження збережених моделей
```

```
# Описуємо екран для прогнозування результатів (PredictScreen), що наслідує від Screen:
```

```
class PredictScreen(Screen):
```

```
    def __init__(self, **kwargs):
```

```
        # Викликаємо конструктор батьківського класу Screen
```

```
        super(PredictScreen, self).__init__(**kwargs)
```

```
        # Створюємо контейнер для розміщення віджетів, встановлюючи вертикальне орієнтування
```

```
        self.layout = BoxLayout(orientation='vertical')
```

```
# Додаємо контейнер до екрану
self.add_widget(self.layout)

# Створюємо та додаємо заголовок
self.layout.add_widget(Label(text='Select image or folder with images for prediction:'))

# Створюємо текстове поле для введення шляху до зображення чи папки
self.image_path_input = TextInput(hint_text='Path to image or folder')
self.layout.add_widget(self.image_path_input)

# Створюємо кнопку для вибору файлу або папки
self.select_image_button = Button(text='Browse')
self.select_image_button.bind(on_press=self.select_image_folder) # Прив'язуємо
функцію вибору до кнопки
self.layout.add_widget(self.select_image_button)

# Створюємо кнопку для запуску прогнозування
self.predict_button = Button(text='Predict')
self.predict_button.bind(on_press=self.predict) # Прив'язуємо функцію прогнозування
до кнопки
self.layout.add_widget(self.predict_button)

# Створюємо заголовок для відображення результатів прогнозування
self.result_label = Label(text='Prediction results will be shown here')
self.layout.add_widget(self.result_label)

# Функція для вибору зображення чи папки
def select_image_folder(self, instance):
    chooser = FileChooserListView() # Створюємо інтерфейс для вибору файлів
```

```

chooser.bind(on_submit=self.set_image_folder) # Прив'язуємо обробник вибору
popup = Popup(title='Select Folder', content=chooser,
              size_hint=(0.9, 0.9)) # Створюємо спливаюче вікно для вибору
popup.open() # Відкриваємо спливаюче вікно

# Функція для встановлення вибраного шляху до зображення чи папки в текстове поле
def set_image_folder(self, chooser, selection, touch):
    self.image_path_input.text = selection[0] # Встановлюємо вибраний шлях

# Функція для запуску прогнозування, яка визначає, чи вибрано зображення чи папку
def predict(self, instance):
    image_path = self.image_path_input.text # Отримуємо шлях до зображення чи папки
    if not image_path:
        self.result_label.text = 'Please select an image or folder!' # Повідомляємо, якщо шлях
не вибрано
        return

    if os.path.isdir(image_path): # Якщо шлях - це папка
        self.predict_folder(image_path) # Запускаємо прогнозування для всіх зображень у
папці
    else:
        self.predict_image(image_path) # Якщо шлях - це зображення, прогнозуємо для
одного зображення

# Функція для прогнозування результату для одного зображення
def predict_image(self, image_path):
    # Завантажуємо збережені моделі
    cnn_model = load_model('saved_model_cnn.h5')
    resnet_model = load_model('saved_model_resnet.h5')

```

```

# Завантажуємо та передобробляємо зображення
image = load_and_preprocess_image(image_path)

# Виконуємо прогнозування для обох моделей
cnn_result = cnn_model.predict(image)
resnet_result = resnet_model.predict(image)

# Форматуємо та відображаємо результати прогнозування
result_text = f'CNN Prediction: {self.format_prediction(cnn_result)}\nResNet Prediction:
{self.format_prediction(resnet_result)}'
self.result_label.text = result_text

# Зберігаємо результат прогнозування в файл
self.save_result_to_file({os.path.basename(image_path): result_text})

# Функція для прогнозування для всіх зображень у папці
def predict_folder(self, folder_path):
    # Завантажуємо збережені моделі
    cnn_model = load_model('saved_model_cnn.h5')
    resnet_model = load_model('saved_model_resnet.h5')

    results = {} # Створюємо словник для збереження результатів
    for filename in os.listdir(folder_path): # Перебираємо всі файли в папці
        if filename.lower().endswith(('.png', '.jpg', '.jpeg')): # Перевіряємо, чи є файл
            зображенням
                image_path = os.path.join(folder_path, filename) # Отримуємо повний шлях до
                зображення

```

```

    image = load_and_preprocess_image(image_path) # Завантажуємо та
передобробляємо зображення

    # Виконуємо прогнозування для обох моделей
    cnn_result = cnn_model.predict(image)
    resnet_result = resnet_model.predict(image)
    results[filename] = {
        'CNN Prediction': self.format_prediction(cnn_result),
        'ResNet Prediction': self.format_prediction(resnet_result)
    }

# Зберігаємо результати в файл
timestamp = time.strftime("%Y%m%d-%H%M%S") # Отримуємо поточний час для
створення унікального імені файлу
results_filename = f'prediction_results_{timestamp}.txt'
with open(results_filename, 'w') as f: # Відкриваємо файл для запису
    for filename, preds in results.items(): # Записуємо кожен файл і його прогнози
        f.write(f'{filename}:\n')
        for model, pred in preds.items():
            f.write(f' {model}: {pred}\n')

# Оновлюємо текст на екрані про збереження результатів
self.result_label.text = f'Predictions saved to {results_filename}'

# Функція для форматування результату прогнозування
def format_prediction(self, prediction):
    return 'Positive' if prediction[0][0] > 0.5 else 'Negative' # Якщо результат більше за 0.5,
то позитивний

```

```

# Функція для збереження результатів у файл
def save_result_to_file(self, results):
    timestamp = time.strftime("%Y%m%d-%H%M%S") # Отримуємо поточний час
    results_filename = f'prediction_result_{timestamp}.txt'
    with open(results_filename, 'w') as f: # Відкриваємо файл для запису
        for image_name, result in results.items(): # Записуємо результат для кожного
            зображення
                f.write(f'{image_name}: {result}\n')

train_screen.py:
import os
from kivy.uix.screenmanager import Screen
from kivy.uix.popup import Popup
from kivy.uix.boxlayout import BoxLayout
from kivy.uix.label import Label
from kivy.uix.button import Button
from kivy.uix.filechooser import FileChooserListView
from kivy.uix.textinput import TextInput
from kivy.properties import StringProperty, BooleanProperty
from threading import Thread

class TrainScreen(Screen):
    status_message = StringProperty("Ready to start training.") # Повідомлення про стан
    error_message = StringProperty("") # Повідомлення про помилку
    has_error = BooleanProperty(False) # Чи є помилка

    def __init__(self, **kwargs):
        super(TrainScreen, self).__init__(**kwargs)

```

```
self.layout = BoxLayout(orientation='vertical') # Основне розташування елементів
self.add_widget(self.layout)
```

```
# Вибір папки для здорових легенів
```

```
self.layout.add_widget(Label(text='Select folder with healthy lungs:'))
self.healthy_path_input = TextInput(hint_text='Path to healthy images folder')
self.layout.add_widget(self.healthy_path_input)
```

```
# Вибір папки для COVID-19 легенів
```

```
self.layout.add_widget(Label(text='Select folder with COVID-19 lungs:'))
self.covid_path_input = TextInput(hint_text='Path to COVID-19 images folder')
self.layout.add_widget(self.covid_path_input)
```

```
# Кнопка вибору папки з здоровими зображеннями
```

```
self.select_healthy_button = Button(text='Browse Healthy Images Folder')
self.select_healthy_button.bind(on_press=self.select_healthy_folder)
self.layout.add_widget(self.select_healthy_button)
```

```
# Кнопка вибору папки з зображеннями COVID-19
```

```
self.select_covid_button = Button(text='Browse COVID-19 Images Folder')
self.select_covid_button.bind(on_press=self.select_covid_folder)
self.layout.add_widget(self.select_covid_button)
```

```
# Кнопка для початку тренування CNN
```

```
self.train_cnn_button = Button(text='Start Training CNN')
self.train_cnn_button.bind(on_press=self.start_training_cnn)
self.layout.add_widget(self.train_cnn_button)
```

```
# Кнопка для початку тренування ResNet
self.train_resnet_button = Button(text='Start Training ResNet')
self.train_resnet_button.bind(on_press=self.start_training_resnet)
self.layout.add_widget(self.train_resnet_button)

# Кнопка для зупинки тренування
self.stop_button = Button(text='Stop Training', disabled=True)
self.stop_button.bind(on_press=self.stop_training)
self.layout.add_widget(self.stop_button)

# Кнопка для продовження тренування
self.continue_button = Button(text='Continue Training', disabled=True)
self.continue_button.bind(on_press=self.continue_training)
self.layout.add_widget(self.continue_button)

# Мітка для відображення прогресу тренування
self.progress_label = Label(text='Training progress will be shown here')
self.layout.add_widget(self.progress_label)

# Мітка для відображення статусу
self.status_label = Label(text=self.status_message)
self.layout.add_widget(self.status_label)

# Мітка для відображення помилки
self.error_label = Label(text=self.error_message, color=[1, 0, 0, 1])
self.layout.add_widget(self.error_label)

# Ініціалізація параметрів тренування
```

```
self.is_training = False
self.current_epoch = 0
self.total_epochs = 10
self.model = None

def select_healthy_folder(self, instance):
    """Вибір папки з здоровими зображеннями."""
    chooser = FileChooserListView()
    chooser.bind(on_submit=self.set_healthy_folder)
    popup = Popup(title='Select Folder', content=chooser, size_hint=(0.9, 0.9))
    popup.open()

def set_healthy_folder(self, chooser, selection, touch):
    """Встановлення шляху до папки з здоровими зображеннями."""
    self.healthy_path_input.text = selection[0]

def select_covid_folder(self, instance):
    """Вибір папки з зображеннями COVID-19."""
    chooser = FileChooserListView()
    chooser.bind(on_submit=self.set_covid_folder)
    popup = Popup(title='Select Folder', content=chooser, size_hint=(0.9, 0.9))
    popup.open()

def set_covid_folder(self, chooser, selection, touch):
    """Встановлення шляху до папки з зображеннями COVID-19."""
    self.covid_path_input.text = selection[0]

def start_training_cnn(self, instance):
```

```

"""Запуск тренування моделі CNN."""
self.start_training(instance, model_type='cnn')

def start_training_resnet(self, instance):
    """Запуск тренування моделі ResNet."""
    self.start_training(instance, model_type='resnet')

def start_training(self, instance, model_type='cnn'):
    """Основна функція для початку тренування."""
    healthy_path = self.healthy_path_input.text
    covid_path = self.covid_path_input.text

    if not healthy_path or not covid_path:
        self.progress_label.text = 'Please select both folders!' # Перевірка на вибір обох
папок
        self.status_message = 'Invalid paths provided.'
        self.has_error = True
        self.error_message = 'Please ensure both paths are valid.'
        return

    # Перевірка на наявність зображень у папках
    healthy_images = self.count_images(healthy_path)
    covid_images = self.count_images(covid_path)

    if healthy_images == 0 or covid_images == 0:
        self.progress_label.text = 'No images found in one or both folders!'
        self.status_message = 'No images found.'
        self.has_error = True

```

```
self.error_message = 'Please ensure both folders contain images.'
```

```
return
```

```
self.is_training = True
```

```
self.stop_button.disabled = False
```

```
self.continue_button.disabled = True
```

```
self.train_cnn_button.disabled = True
```

```
self.train_resnet_button.disabled = True
```

```
self.progress_label.text = 'Training started...'
```

```
self.status_message = "Starting training..."
```

```
self.has_error = False
```

```
self.error_message = ""
```

```
Thread(target=self.train_model, args=(healthy_path, covid_path, model_type)).start()
```

```
def count_images(self, folder_path):
```

```
    """Підрахунок кількості зображень у папці."""
```

```
    count = 0
```

```
    for root, dirs, files in os.walk(folder_path):
```

```
        for file in files:
```

```
            if file.endswith(('jpeg', 'jpg', 'png')): # Перевірка на відповідний формат
```

```
                count += 1
```

```
    return count
```

```
def stop_training(self, instance):
```

```
    """Зупинка тренування."""
```

```
    self.is_training = False
```

```
    self.stop_button.disabled = True
```

```

self.continue_button.disabled = False
self.train_cnn_button.disabled = False
self.train_resnet_button.disabled = False
self.progress_label.text = 'Training stopped. You can continue later.'
self.status_message = 'Training stopped by user.'

```

```

def continue_training(self, instance):

```

```

    """Продовження тренування."""

```

```

    self.is_training = True

```

```

    self.stop_button.disabled = False

```

```

    self.continue_button.disabled = True

```

```

    self.train_cnn_button.disabled = True

```

```

    self.train_resnet_button.disabled = True

```

```

    self.progress_label.text = 'Training continued...'

```

```

    self.status_message = 'Resuming training...'

```

```

    Thread(target=self.train_model, args=(self.healthy_path_input.text,
self.covid_path_input.text, 'cnn')).start()

```

```

def train_model(self, healthy_path, covid_path, model_type):

```

```

    """Основний процес тренування моделі."""

```

```

    from training import train

```

```

    if not self.model:

```

```

        self.model = train.create_model(model_type=model_type)

```

```

    try:

```

```

        for epoch in range(self.current_epoch, self.total_epochs):

```

```

            if not self.is_training:

```

```

        break
    train.train_one_epoch(self.model, healthy_path, covid_path, epoch)
    self.current_epoch += 1
    self.progress_label.text = f'Epoch {self.current_epoch}/{self.total_epochs}
completed'
    self.status_message = f'Epoch {self.current_epoch} completed successfully.'
except Exception as e:
    self.has_error = True
    self.error_message = str(e)
    self.status_message = 'An error occurred during training.'
else:
    if self.current_epoch == self.total_epochs:
        self.progress_label.text = 'Training completed'
        self.status_message = 'Training completed successfully.'
        self.train_cnn_button.disabled = False
        self.train_resnet_button.disabled = False
        self.stop_button.disabled = True
        self.continue_button.disabled = True

    train.save_model(self.model, 'saved_model.h5')

self.is_training = False

```

cnn_model.py:

```

from keras.models import Sequential
from keras.layers import Conv2D, MaxPooling2D, Flatten, Dense, Dropout

```

```

def create_cnn_model(input_shape=(256, 256, 3)):
    """
    Створює CNN модель для бінарної класифікації з вхідним розміром (256, 256, 3).
    """
    model = Sequential([ # Починаємо створювати модель послідовно
        Conv2D(32, (3, 3), activation='relu', input_shape=input_shape), # Перший згортальний
        шар (32 фільтри 3x3)
        MaxPooling2D((2, 2)), # Перший шар для зменшення розміру з фільтром 2x2
        Conv2D(64, (3, 3), activation='relu'), # Другий згортальний шар (64 фільтри 3x3)
        MaxPooling2D((2, 2)), # Другий шар для зменшення розміру
        Flatten(), # Перетворення матриці в одномірний вектор
        Dense(128, activation='relu'), # Повнозв'язний шар з 128 нейронами
        Dropout(0.5), # Випадкове виключення 50% нейронів для уникнення перенавчання
        Dense(1, activation='sigmoid') # Вихідний шар для бінарної класифікації (1 нейрон,
        активація 'sigmoid')
    ])

    # Компіляція моделі з оптимізатором Adam, функцією втрат binary_crossentropy та
    метрикою точності
    model.compile(optimizer='adam', loss='binary_crossentropy', metrics=['accuracy'])

    return model # Повертаємо створену модель

```

resnet_model.py:

```

from keras.applications import ResNet50
from keras.models import Model
from keras.layers import Dense, Flatten
from keras.optimizers import Adam

```

```
def create_resnet_model(input_shape=(224, 224, 3)):
    # Завантаження базової моделі ResNet50 з попередньо навченими вагами ImageNet
    base_model = ResNet50(weights='imagenet', include_top=False, input_shape=input_shape)

    # Додавання шару Flatten для перетворення виходу базової моделі в одновимірний вектор
    x = Flatten()(base_model.output)

    # Додавання повнозв'язного шару з 128 нейронами та активацією ReLU
    x = Dense(128, activation='relu')(x)

    # Додавання вихідного шару з 1 нейроном і активацією sigmoid для задачі бінарної
    класифікації
    x = Dense(1, activation='sigmoid')(x)

    # Створення кінцевої моделі з вхідним шаром з базової моделі та вихідним шаром
    model = Model(inputs=base_model.input, outputs=x)

    # Вимкнення тренування для всіх шарів базової моделі ResNet50 (заморожування)
    for layer in base_model.layers:
        layer.trainable = False

    # Компіляція моделі з оптимізатором Adam і бінарною крос-ентропією як функцією
    втрат
    model.compile(optimizer=Adam(learning_rate=0.001), loss='binary_crossentropy',
    metrics=['accuracy'])

    # Повернення моделі
    return model
```

save_load.py:

```
from keras.models import save_model, load_model # Імпортуємо функції для збереження та завантаження моделі
```

```
def save_model_state(model, filepath):
```

```
    """
```

```
    Зберігає модель у вказаний файл.
```

```
    """
```

```
    save_model(model, filepath)
```

```
def load_model_state(filepath):
```

```
    """
```

```
    Завантажує модель з вказаного файлу.
```

```
    """
```

```
    return load_model(filepath)
```

train.py:

```
def save_model(model, path):
```

```
    """
```

```
    Збереження моделі в файл.
```

```
    """
```

```
    model.save(path)
```

```
def load_model(path):
```

```
    """
```

```
    Завантаження моделі з файлу.
```

```

"""
return keras_load_model(path)

def update_excel_file(file_path, history, epoch):
    """
    Запис результатів навчання в Excel файл. Якщо файл існує, додаємо новий рядок.
    """
    if os.path.exists(file_path):
        workbook = openpyxl.load_workbook(file_path) # Завантаження існуючого файлу
        sheet = workbook.active
    else:
        # Створення нової книги, якщо файл не існує
        workbook = openpyxl.Workbook()
        sheet = workbook.active
        # Заголовки для стовпців
        sheet.append(["Epoch", "Train Accuracy", "Validation Accuracy", "Train Loss",
"Validation Loss"])

    # Отримуємо метрики з історії навчання
    train_accuracy = history.history['accuracy'][-1]
    val_accuracy = history.history['val_accuracy'][-1]
    train_loss = history.history['loss'][-1]
    val_loss = history.history['val_loss'][-1]

    # Запис результатів поточної епохи
    sheet.append([epoch, train_accuracy, val_accuracy, train_loss, val_loss])

```

```
# Збереження файлу
workbook.save(file_path)
```

helpers.py:

```
from keras.preprocessing import image # Імпортуємо модуль для обробки зображень
import numpy as np # Імпортуємо бібліотеку для роботи з масивами

def load_and_preprocess_image(image_path, target_size=(224, 224)):
    """
    Завантажує і обробляє зображення: змінює його розмір, конвертує в масив та
    нормалізує значення пікселів.
    """
    # Завантажуємо зображення і змінюємо його розмір відповідно до target_size
    img = image.load_img(image_path, target_size=target_size)

    # Перетворюємо зображення в масив чисел (пікселів)
    img_array = image.img_to_array(img)

    # Додаємо ще одну вимірність, щоб отримати правильний формат для моделі
    (batch_size, height, width, channels)
    img_array = np.expand_dims(img_array, axis=0)

    # Нормалізація: ділимо значення пікселів на 255, щоб привести їх до діапазону [0, 1]
    img_array /= 255.0

    return img_array # Повертаємо оброблене зображення
```


Додаток Г Інструкція користувача

Додатки оформити згідно вимог. Дивитися КЗ2 з курсу Інформаційні технології також дивитися положення (оно є на сайті університету та у чаті «Дипломування»)

Видалити всі пусті рядки по всій роботі

Вступ

Сфера застосування

Ця інструкція описує порядок використання засобу автоматизації, призначеного для обробки та класифікації зображень із використанням нейронних мереж (CNN та ResNet). Засіб застосовується в дослідницьких роботах для автоматизованого аналізу зображень легенів (здорових і з COVID-19).

Короткий опис можливостей

Засіб автоматизації забезпечує:

- тренування моделей нейронних мереж на зображеннях легенів;
- передбачення на основі нових зображень для визначення наявності хвороби (COVID-19);
- збереження та завантаження моделей;
- автоматизацію всіх процесів, пов'язаних із підготовкою, тренуванням і використанням моделей.

Рівень підготовки користувача

Для ефективного використання цього засобу користувач повинен мати:

- базові знання в області машинного навчання;
- навички роботи з програмами для обробки зображень;
- розуміння принципів роботи з нейронними мережами та бібліотеками Keras і TensorFlow.

Перелік експлуатаційної документації

Перед початком роботи користувач повинен ознайомитися з наступними матеріалами:

- Документація щодо встановлення та налаштування Python та необхідних бібліотек (Keras, TensorFlow);
- Документація по використанню середовища Kivy для роботи з графічним інтерфейсом.

Призначення та умови застосування

Вид діяльності та функції

Засіб автоматизації призначений для автоматизації процесів:

- аналізу медичних зображень легенів;
- тренування нейронних мереж для розпізнавання патологій на основі зображень (COVID-19);
- передбачення на основі нових зображень.

Умови застосування

Для коректної роботи необхідно:

- використання комп'ютера з операційною системою Windows/Linux;
- Наявність ЕОМ з мінімальними характеристиками:
 - о Процесор: Intel i5 або вище;
 - о Оперативна пам'ять: 8GB і більше;
 - о Вільний простір на жорсткому диску: 10GB і більше.
- Операційне середовище: Python 3.7 і вище;
- Встановлені бібліотеки: Keras, TensorFlow, Kivy, NumPy, Matplotlib.

Підготовка до роботи

Склад і зміст дистрибутивного носія даних

Дистрибутив включає:

- Основні програми для тренування і прогнозування моделей;
- Тренувальні набори даних (зображення легенів, що містять здорові легені та зображення з COVID-19);
- Інсталяційні файли для Python і бібліотек.

Порядок завантаження даних і програм
авантажити дистрибутив програмного забезпечення.

Встановити Python 3.8.

Виконати команду для встановлення всіх необхідних бібліотек:

«pip install -r requirements.txt»

Порядок перевірки працездатності

- Запустіть програму з командного рядка:

«python main.py»

- Переконайтесь, що інтерфейс з'явився і програма працює без помилок.
- Протестуйте завантаження даних, використовуючи функції вибору каталогів для здорових і заражених легенів.

Опис операцій

Завантаження і тренування моделі

Умови: Для виконання операції необхідно, щоб були вибрані каталоги з зображеннями здорових та заражених легенів.

Підготовчі дії:

- Завантажити зображення з обох категорій.
- Перевірити, чи не порожні вибрані папки.

Основні дії:

- Натиснути кнопку «Start Training CNN» або «Start Training ResNet» для початку тренування.
- Система почне обробку даних і навчання моделі.

Заключні дії:

- Після завершення тренування модель зберігається.
- Можна продовжити тренування або зробити це пізніше.

Аварійні ситуації

Дії при недотриманні умов

- Якщо не вибрані обидва каталоги (здорові легені та COVID-19), з'являється повідомлення про помилку. Перевірте шляхи до папок і повторіть операцію.

Дії при тривалих відмовах технічних засобів

- У разі відмови комп'ютера або магнітного носія, вимкніть програму та перевірте наявність помилок у системних журналах.

Відновлення даних у разі відмови носія

- Якщо дані не збережені, повторіть завантаження та тренування моделі.

Дії при виявленні несанкціонованого втручання в дані

- Перевірте цілісність даних за допомогою функцій перевірки цілісності файлів.

Дії в інших аварійних ситуаціях

- У разі помилок під час запуску програми, перевірте журнал помилок і перезавантажте систему.

Рекомендації щодо засвоєння

Рекомендації

Для кращого засвоєння функцій програми рекомендується:

- Пройти всі етапи тренування та прогнозування;
- Ознайомитися з прикладами даних для навчання.

Опис контрольного прикладу

- Завантажте зображення здорових легенів та зображення з COVID-19.
- Пройдіть через процес тренування моделі.
- Перевірте точність моделі, виконавши прогноз на новому зображенні.

Правила запуску й виконання

Для запуску програмного забезпечення достатньо мати правильно налаштоване середовище та виконати команду:

```
«python main.py»
```